

Araignées du Sud de l'Afrique

(Suite)¹

PAR

R. de LESSERT

Avec 18 figures dans le texte.

Famille Thomisidae.

Genre PARAMYSTARIA Lessert 1919.

1. *Paramystaria variabilis* Lessert 1919.

P. variabilis (♂♀). de LESSERT 1919, p. 103, pl. 2, fig. 14, 21, 27, 42 et fig. 2 à 4 (texte).

Une femelle dont l'abdomen, d'un gris-rosé, est coupé d'une bande médiane longitudinale brun-noir et dont le céphalothorax est brun-noir, avec une tache claire sous les yeux médians antérieurs, correspond au type que j'ai décrit de Kibonoto (1919, pl. 2, fig. 21).

Les fémurs et patellas des pattes sont orangés, les autres articles verdâtres. Fémurs I tachés de noir à la base, fémurs II et III noirs, fémurs IV cerclés de noir à l'extrémité.

H a b i t a t : Natal, Amanzimtoti (1 ♀, X, L. BEVIS leg.) (Durban Museum).

Genre TMARUS Simon 1875.

1. *Tmarus natalensis* n. sp.

(Fig. 1.)

♂: Céphalothorax fauve, varié de noirâtre, taché de blanc et ponctué de carmin sur le groupe oculaire et le bandeau; la région cépha-

¹ Pour la première partie, cf. *Rev. suisse Zool.*, vol. 30, pp. 161-212. 1923.

lique est marquée, en arrière du groupe oculaire, de 3 lignes longitudinales, dont les 2 lignes latérales sont incurvées en arrière. Tubercules oculaires gris foncé. Chélicères fauve-noirâtre, ponctuées de noir, blanches à l'extrémité. Pièces buccales, sternum blanc-testacé. Pattes jaunes, tachetées de noirâtre, ces tachettes très serrées sur la face antérieure des fémurs I et II. Pattes III et IV ponctuées de carmin et de blanc. Abdomen noirâtre, varié de testacé; région ventrale blanche, coupée d'une large bande médiane noirâtre.

Céphalothorax un peu plus long (2^{mm},5) que large (2^{mm},2).

Yeux latéraux élevés sur des saillies arrondies. Yeux antérieurs en ligne presque droite (leurs bases formant une ligne légèrement procurvée), équidistants, les médians 2 fois plus petits que les latéraux, séparés l'un de l'autre et des latéraux par un intervalle plus de 2 fois plus grand que leur diamètre. Yeux postérieurs en ligne recurvée (une ligne tangente au bord postérieur des médians atteindrait presque le bord antérieur des latéraux), les médians de $\frac{1}{3}$ plus petits que les latéraux, séparés l'un de l'autre par un intervalle 3 fois plus grand que leur diamètre et des latéraux par un intervalle 4 fois plus grand. Yeux médians, vus par dessus, disposés en trapèze plus étroit en avant qu'en arrière et un peu plus large en arrière que long¹.

Bandeau, vu de profil, plan et nettement proclive; vu par devant, il est de même longueur environ que le groupe des yeux médians.

Pattes-mâchoires testacées (fig. 1). Tibia plus court que la patella, étroit à la base, élargi en avant, pourvu de 2 apophyses. Apophyse inférieure beaucoup plus courte que l'externe, brun-rouge, située du côté externe de l'article, recourbée en dedans en crochet indistinct (fig. 1 A). Apophyse supérieure (externe) 2 fois plus longue que l'article, dirigée obliquement en avant, formée de 2 parties: la basale testacée, assez large, à bords parallèles et accolée au tarse, l'apicale beaucoup plus grêle, noire, détachée du tarse, recourbée en crochet à l'extrémité, aiguë. La partie apicale de l'apophyse externe est comprimée en dessous, dans sa moitié basale, en carène à peine visible par dessous, mais bien visible de profil².

¹ Un peu plus long que large en arrière chez *T. cancellatus* Thorell 1899, *plantarius* Simon 1903 et *semicretaceus* Simon 1907.

² Cette carène existe également chez *T. africanus*, mais ne se voit que lorsqu'on a détaché le tibia du tarse.

L'apophyse externe présente en outre, vers le milieu de son bord externe, une petite branche latérale, subtriangulaire. Tarse ovale, un peu plus long que large, terminé en rostre conique, obtus, 4 fois plus court que le bulbe. Bord externe du tarse présentant, vers le $\frac{1}{3}$ basal, une petite saillie arrondie, garnie de crins. Bulbe irrégulièrement ovale, entouré d'un stylus noir et muni d'une dent conique médiane noire, surtout visible de profil, mais sans dent antérieure comme chez *T. africanus*.

Pattes antérieures longues (patella + tibia I = 5^{mm} = protarse + tarse I). Tibias I pourvus de 3-3 épines inférieures; protarses I munis de 5-5 épines en dessous.

Abdomen plus de 2 fois (3^{mm},5) plus long que large (1^{mm},5), tronqué droit en avant, à côtés parallèles en avant, convergeant

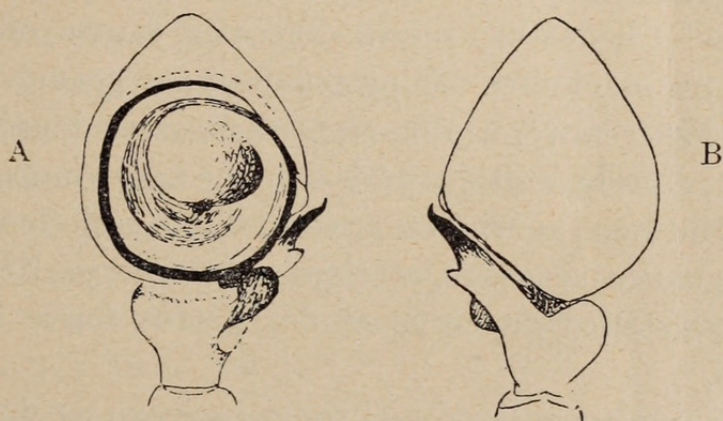


FIG. 1. — *Tmarus natalensis* n. sp. ♂.

- A. — Patte-mâchoire gauche vue par dessous.
B. — Patte-mâchoire gauche vue par dessus.

en arrière, vers le $\frac{1}{3}$ postérieur. Pas de saillie conique postérieure comme chez *T. piger* (Walck.) ou *malleti* Lessert.

Longueur totale, 5^{mm},5; longueur du céphalothorax, 2^{mm},5.

Habitat: Natal, Amanzimtoti (1♂, type, X, L. BEVIS leg.) Umtamvuna (1♂, VIII, L. BEVIS leg.) (Durban Museum).

T. natalensis est très voisin de *T. africanus*¹, dont il ne se différencie guère que par certains détails dans la structure des pattes-mâchoires. Chez *T. africanus*, l'extrémité de l'apophyse tibiale externe (supérieure) est légèrement arquée, mais non recourbée en

¹ Cf. de LESSERT 1919, p. 111, fig. 7 et 8.

crochet, l'apophyse inférieure est de forme différente chez les 2 espèces (Cf. notre fig. 1 A avec la fig. 8 de LESSERT 1919). Le tarse est relativement plus étroit chez *T. africanus*, le rostre plus atténué en avant et plus long; le bulbe présente une dent brun foncé antérieure du côté interne.

Famille Clubionidae.

Genre Olios Walckenaer 1837.

1. *Olios biarmatus* n. sp.

(Fig. 2 et 3.)

♀: Céphalothorax jaune foncé, les yeux situés sur de petites taches noires. Chélicères, pièces buccales fauve-rouge. Sternum testacé. Pattes-mâchoires et pattes jaunes, graduellement rembrunies vers l'extrémité. Abdomen testacé, assez densément tacheté de brun-noir; dans la moitié antérieure, une figure lancéolée testacée, bordée de brun-noir, suivie, en arrière, d'une série longitudinale de taches triangulaires accolées, atteignant les filières. Région ventrale testacée. Pubescence du corps et des pattes fauve blanchâtre, à reflets dorés.

Céphalothorax aussi large que long, convexe en dessus.

Yeux antérieurs, vus par devant, en ligne droite, égaux, les médians un peu plus écartés l'un de l'autre que des latéraux, séparés par un intervalle un peu plus grand que leur diamètre. Yeux postérieurs en ligne presque droite (à peine recurvée), égaux, équidistants, séparés par un intervalle double de leur diamètre. Yeux médians, vus par dessus, disposés en trapèze plus large que long et un peu plus étroit en avant qu'en arrière, les postérieurs un peu plus petits que les antérieurs.

Bandeau vertical, plus court (d'environ $\frac{1}{3}$) que le diamètre des yeux médians antérieurs.

Marge inférieure des chélicères pourvue de crins incurvés à la base du crochet et de 3 dents¹, dont la postérieure la plus robuste.

Patella + tibia II > I > IV > III.

¹ Chez un exemplaire, la marge inférieure de la chélicère gauche porte 4 dents.

Tibias I des pattes pourvu de 2-2 épines inférieures et de 2 épines de chaque côté; protarses I munis, dans la moitié basale, de 2-2 épines inférieures et de 2 épines de chaque côté. Protarses et tarses garnis en dessous de scopulas gris foncé serrées, atteignant la base des protarses.

Epigyne (fig. 2) creusé d'une dépression longitudinale occupée par un septum bas rétréci en avant, mais dont les bords antérieurs noirs s'évasent assez brusquement en dessinant un Y. De chaque côté de ce septum, un lobe ovale, lisse et brillant, paraissant, sous l'alcool, noirâtre et marqué d'un fin trait noir en spirale. Ces lobes sont séparés du pli épigastrique par un rebord assez étroit et obtus, orné de 2 traits noirs, parallèles, écartés.

Comme chez *O. correvoeni* (De LESSERT 1921, fig. 10 et 11) et *benitensis* (POCOCK 1899, pl. 56, fig. 12, 12 a), la forme de l'epigyne est un peu variable selon que l'individu a été capturé avant ou après la ponte. Chez un exemplaire les bords latéraux du septum médian sont presque parallèles et les 2 traits divergents forment un Y moins ouvert.

Longueur totale, 11^{mm},5; longueur du céphalothorax, 4^{mm},5.

Patella + tibia II = 7^{mm},5.

♂: Coloration comme chez la ♀, mais un peu plus claire. Céphalothorax un peu plus long (4^{mm},5) que large (4^{mm}).

Même disposition des yeux que chez la ♀, avec les médians antérieurs séparés par un intervalle plus petit que leur diamètre, les yeux médians postérieurs disposés en rectangle à peine plus large que long, aussi large en avant qu'en arrière.

Pattes-mâchoires (fig. 3). Patella de même longueur en dessus que le tibia, à bords parallèles. Tibia dilaté vers le milieu du côté externe en saillie triangulaire munie de 2 apophyses connées, divergentes, mais recourbées l'une vers l'autre: l'inférieure (postérieure) brun-rouge foncé, arquée en haut, plus courte que la supérieure (antérieure), comprimée, légèrement dilatée à l'extrémité; vue du côté externe, cette apophyse est atténuée en avant et obtuse. L'apophyse tibiale supérieure, brun-rouge, est recourbée en bas et arquée un peu en dehors à l'extrémité en forme de corne régulièrement atténuée, subaiguë.

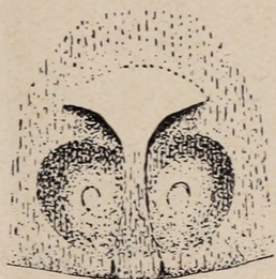


FIG. 2.

Olios biarmatus
n. sp. ♀.

Epigyne (sous
liquide).

Tarse presque 2 fois plus long que le tibia et presque 2 fois plus long que large, son bord externe renflé et convexe dans la moitié basale. Rostre large, triangulaire, obtus, un peu plus court que le bulbe. Ce dernier organe (fig. 3 B) est ovale, sans apophyses saillantes, entouré d'un stylus naissant au bord antérieur et dont

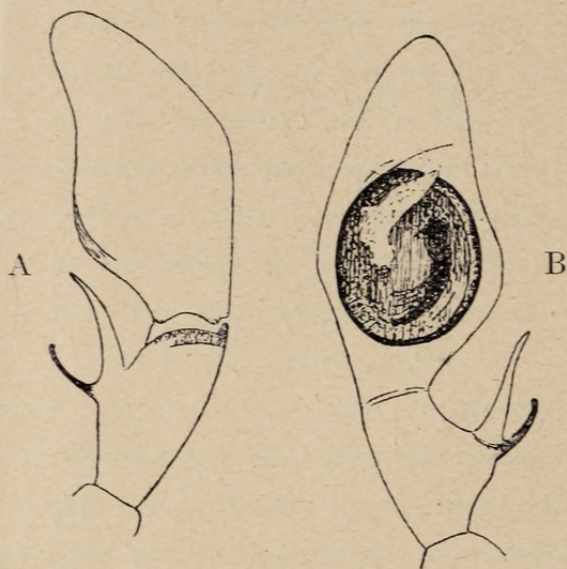


FIG. 3. — *Olios biarmatus* n. sp. ♂.

- A. — Patte-mâchoire gauche vue par dessus.
B. — Patte-mâchoire gauche vue par dessous.

l'extrémité, très fine, atteint presque le bord externe du tarse. Un conducteur blanc, membraneux, dirigé obliquement en avant est situé dans la région antérieure du bulbe, parallèlement à l'extrémité du stylus.

Longueur totale, 8^{mm},5; longueur du céphalothorax, 4^{mm}, 5.

Patella + tibia II = 10^{mm}.

H a b i t a t : Natal, Umbilo (3 ♀, 1 ♂, dont les types, L. BEVIS leg.) (Durban Museum).

Famille Pisauridae.

Genre ROTHUS Simon 1898.

1. *Rothus aethiopicus* (Pavesi) 1883.

R. aethiopicus (♂♀). de LESSERT 1916, p. 581, fig. 15 à 18.

H a b i t a t : Natal, Umbilo (1 ♂ avec sa proie, *Termes natalensis*, X, C. C. KENT leg.) (Durban Museum).

Espèce largement répandue de l'Erythrée à la Colonie du Cap.

Genre CISPIUS Simon 1898.

1. *Cispius* (?) *ambiguus* n. sp.

(Fig. 4.)

♀: Céphalothorax noirâtre, couvert de pubescence fauve, à l'exception d'une étroite bande marginale testacée et d'une tache testacée sous les yeux médians antérieurs revêtues de poils blancs¹. Yeux situés sur des taches noires. Chélicères testacées, ornées d'une tache longitudinale antérieure noirâtre. Pièces buccales, sternum testacés, teintés de noirâtre; pattes-mâchoires, pattes testacées. Abdomen testacé, recouvert d'une grande tache noire, ponctuée de testacé, présentant au milieu, en avant, 2 taches claires réunies en \wedge en avant; vers le milieu, 2 taches claires marginales ovales, obliques; dans la moitié postérieure, une série longitudinale de chevrons clairs. Région ventrale testacée (à pubescence blanche), marquée d'une bande longitudinale noirâtre. Filières supérieures fauves, les inférieures noirâtres.

Yeux antérieurs en ligne recurvée (une ligne tangente à la base des latéraux passerait par le centre des médians), les médians de $\frac{1}{5}$ plus gros que les latéraux, 2 fois plus écartés l'un de l'autre que des latéraux, séparés par un intervalle un peu plus petit que leur diamètre. Yeux postérieurs subégaux (les médians à peine plus petits que les latéraux), en ligne fortement recurvée (une ligne tangente au bord postérieur des médians n'atteindrait pas le bord antérieur des latéraux), les médians plus rapprochés (de $\frac{1}{3}$) l'un de l'autre que des latéraux, séparés par un intervalle un peu plus petit que leur diamètre. Yeux médians des 2 lignes subégaux, disposés en groupe à peine plus large en arrière qu'en avant et, vu par devant, environ aussi large en arrière que long (vus par dessus, les yeux médians forment un groupe plus large que long).

Bandeau vertical, plus court que le trapèze des yeux médians, 2 fois plus long que le diamètre des yeux médians antérieurs.

Marge postérieure des chélicères présentant 3 dents subégales.

Tibias I pourvus de 4-4 longues épines inférieures, protarses I munis de 3-3 longues épines en dessous.

¹ La pubescence est formée de poils plumeux.

Epigyne (fig. 4 C) en plaque fauve-rouge, subarrondie, à peine plus large que longue, divisée par une carène longitudinale resserrée en x au milieu, limitée en arrière par 2 taches noires accolées. La carène médiane est fortement dilatée en avant et donne naissance, de chaque côté, à une saillie subtriangulaire dirigée obliquement en arrière et en bas. Ces 2 saillies sont nettement visibles de profil (fig. 4 D).

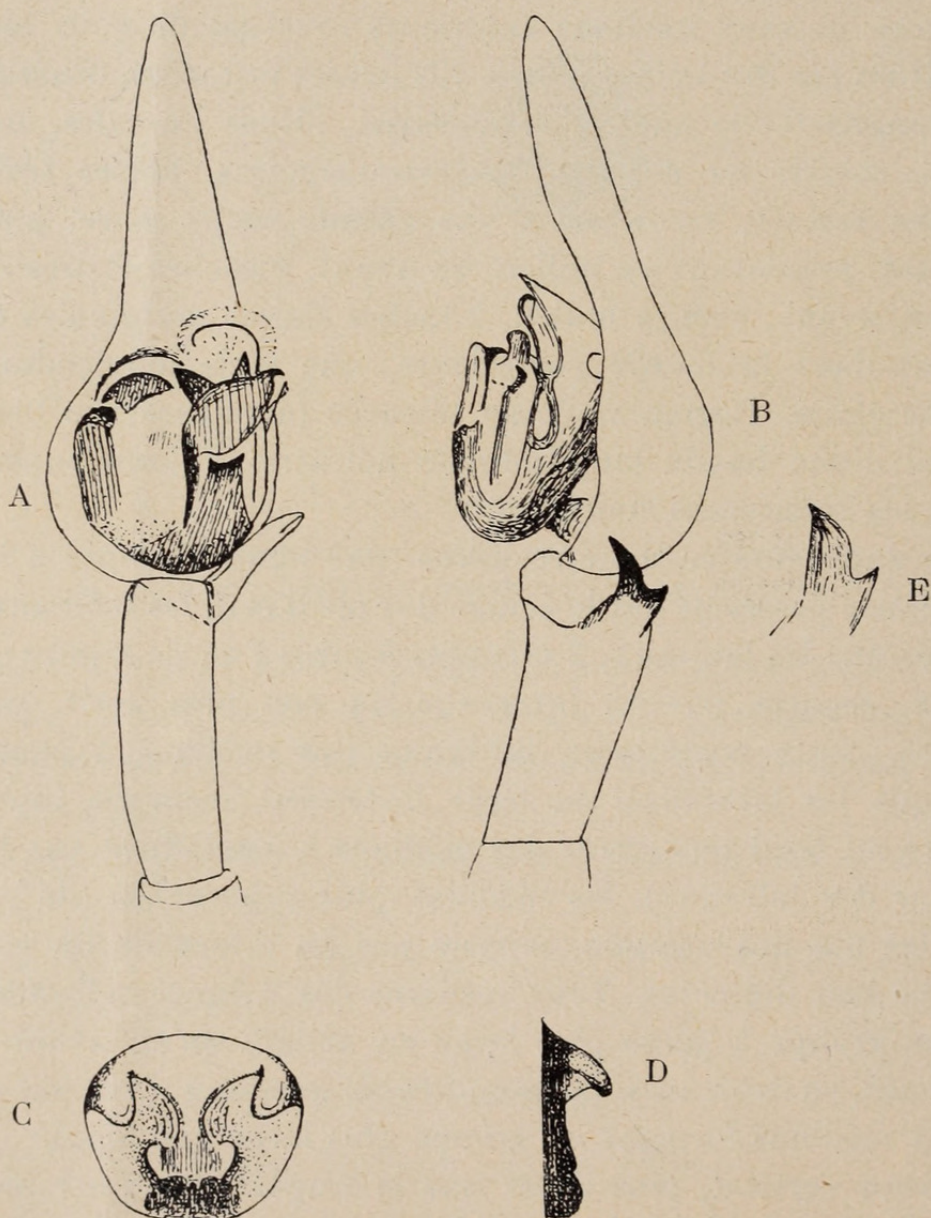


FIG. 4. — *Cispius ambiguus* n. sp.

- A. — ♂. Patte-mâchoire gauche vue par dessous.
 B. — ♂. Patte-mâchoire gauche vue du côté externe.
 C. — ♀. Epigyne (sous liquide) vu par dessous.
 D. — ♀. Epigyne (sous liquide) vu de profil.
 E. — ♂. Apophyse tibiale vue du côté externe et un peu par dessous.

Longueur totale, 8^{mm} à 10^{mm}; longueur du céphalothorax, 4^{mm}.

♂: Coloration, yeux, épines des pattes comme chez la ♀. Un ♂ présente 4 dents sur la marge postérieure des chélicères. Pattes-mâchoires (fig. 4 A, B, E). Tibia un peu plus long que la patella, plus de 2 fois plus long que large, à peine arqué, armé, dans la moitié basale, de 3 longues épines (2 supérieures, une externe) et sur son bord antérieur, du côté externe, d'une apophyse brun foncé. Cette apophyse est, vue par dessous, un peu plus longue que le diamètre de l'article, dirigée obliquement en avant, accolée au tarse, légèrement échancrée à la base sur son bord interne, atténuée à l'extrémité, sub-aiguë. L'apophyse tibiale est creusée en gouttière en dessus et son bord supérieur (externe) est muni d'une dent triangulaire, aiguë, dirigée obliquement en haut, de sorte que l'apophyse, vue de profil, a l'apparence d'une botte renversée. Tarse un peu plus long que patella + tibia, arrondi à la base, prolongé en rostre longuement atténué, plus long (de $\frac{1}{3}$) que la région basale du tarse et pourvu en dessous de 2 épines. Bulbe complexe, arrondi à la base, muni en avant, du côté externe, d'une lamelle brun-rouge ovale, obliquement située, terminée en crochet du côté externe. Le bord antérieur de cette pièce recouvre en partie 2 pointes brunes divergentes. L'extrémité du bulbe (du côté externe) présente un conducteur translucide, arrondi en avant, supportant un fin stylus recourbé (fig. 4 A).

Longueur totale, 9^{mm},5; longueur du céphalothorax, 4^{mm}.

Patella + tibia I = 8^{mm},5.

H a b i t a t : Natal, Umbilo (4 ♀, 5 ♂, dont les types, II, L. BEVIS leg.) (Durban Museum).

Cispius (?) *ambiguus* semble faire le passage des *Cispius* aux *Cladycnis*¹; il se rapproche de ces derniers par ses yeux antérieurs en ligne nettement recurvée, mais s'en éloigne par les yeux médians des 2 lignes disposés en groupe environ aussi large en arrière que long. *C.* (?) *ambiguus* diffère des *Pisaura* par la ligne oculaire antérieure recurvée et des *Nilus*² par son large bandeau et ses yeux postérieurs en ligne moins fortement recurvée.

¹ Le genre *Cladycnis* Simon 1898 m'est inconnu en nature.

² Cf. SIMON 1892-1903, vol. 2, p. 283, fig. 297 J.

Genre *VORAPTUS* Simon 1898.1. *Voraptus affinis* n. sp.

(Fig. 5.)

♀: Céphalothorax jaune, couvert de poils blancs, espacés, simples (?), les yeux situés sur des taches noires. Chélicères, pièces buccales, sternum testacés. Pattes-mâchoires et pattes jaune-testacé, armées de très longues épines brunes. Abdomen jaune, tacheté de blanc sur les flancs et sur la région ventrale, orné en dessus d'une tache antérieure obscure, lancéolée, effilée en arrière. Pubescence de l'abdomen blanche, peu serrée.

Céphalothorax (fig. 5 A) plus long (2mm,5) que large (2mm); vu de profil, il est peu élevé et presque plan en dessus.

Yeux antérieurs en ligne procurvée (une ligne tangente à la base des médians passerait vers le milieu des latéraux), les médians un peu plus gros que les latéraux, un peu plus rapprochés l'un de l'autre que des latéraux, séparés par un intervalle un peu plus petit que leur diamètre. Yeux postérieurs subégaux, subéquidistants, disposés en trapèze 2 fois plus étroit en avant qu'en arrière, séparés par un intervalle 2 fois plus grand que leur diamètre.

Yeux médians postérieurs occupant un espace transverse moins large que la ligne oculaire antérieure. Yeux médians des 2 lignes subégaux, disposés en trapèze plus étroit en avant qu'en arrière; vu par dessus, ce trapèze est presque 2 fois plus large en arrière que long¹.

Bandeau vertical, presque 2 fois plus long que le diamètre des yeux médians antérieurs.

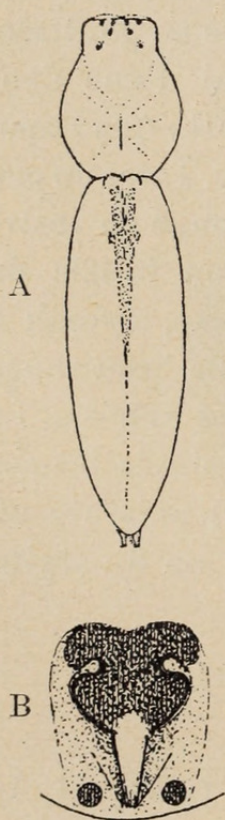


Fig. 5.

Voraptus affinis
n. sp. ♀.

- A. — Corps vu par dessus
B. — Epigyne (sous liquide).

¹ Chez *V. (?) extensus* Lessert 1916, la ligne oculaire antérieure, vue par devant, forme, avec les yeux médians postérieurs, un rectangle (cf. de LESSERT 1916, p. 592, fig. 25); chez *V. affinis*, ces mêmes yeux sont disposés en trapèze plus étroit au sommet qu'à la base.

Chélicères bombées en avant et revêtues de poils blancs, leur marge inférieure munie de 3 dents subégales, rapprochées. Pattes longues et grêles; tibias I pourvus de 5-5 longues épines inférieures; protarses munis de 2-2 épines en dessous à la base. Tarses arqués, mais non flexibles¹. Patella + tibia (6^{mm},4) > II > IV > III.

Abdomen (fig. 5 A) cylindrique, allongé, plus de 2 fois plus long que large, présentant sur son bord antérieur 2 mamelons connés.

L'épigyne (sous liquide, fig. 5 B) se présente sous forme de plaque subrectangulaire fauve, un peu plus longue que large, légèrement élargie en avant. La moitié antérieure de la plaque est presque entièrement occupée par une large tache noire (plagule) en forme d'écusson, découpée de chaque côté par une échancrure étroite, oblique. Cette tache est reliée au bord postérieur par une étroite bande claire, finement bordée de brun-rouge, atténuée en arrière et le bord postérieur est orné de 2 tachettes rondes fauve-rouge écartées (réceptacles séminaux). A sec, la plagule antérieure de l'épigyne est cordiforme, limitée de chaque côté par un rebord brun-rouge arqué.

Longueur totale, 7^{mm},2; longueur du céphalothorax, 2^{mm},5.

Protarse I = 5^{mm},3.

H a b i t a t : Natal, Umbilo (1 ♀, type, L. BEVIS leg.) (Durban Museum).

L'allongement du corps et des pattes donne à *Voraptus affinis* le faciès d'une *Tetragnatha*. Il ressemble d'une manière frappante au *Dolomedes exilipes* de LUCAS² du Gabon, que SIMON (1892-1903, Vol. 2, p. 311, note 2) rapporte au genre *Voraptus*. *V. affinis* diffère de *V. (?) extensus* Lessert 1916³ du Kilimandjaro par son céphalothorax plus étroit, ses yeux médians postérieurs moins écartés, occupant un espace transversal nettement moins large que la ligne des yeux antérieurs. Le genre *Voraptus*, exclusivement africain, compte encore 2 espèces, *V. aeriis* Simon 1898 de Landana et *tenellus* (Simon) 1893 des Iles Séchelles.

¹ Chez *V. tenellus* (Simon) 1893, génotype, les tarses sont filiformes et flexibles.

² Cf. LUCAS 1858, p. 385, pl. 12, fig. 1.

³ Cf. de LESSERT 1916, p. 591, fig. 23 à 26.

Famille **Lycosidae.**Genre **HIPPASA** SIMON 1885.1. *Hippasa funerea* n. sp.

(Fig. 6.)

♀: Céphalothorax brun-noir, orné d'une bande submarginale jaune (parfois interrompue), d'une tache médiane en forme d'étoile sur la strie thoracique et de 4 petites taches indistinctes disposées en carré, sur la base de la région céphalique, jaunes. Chélicères brun-noirâtre; pièces buccales fauve-olivâtre, teintées de noirâtre. Sternum jaune, taché de noir sur les bords et coupé d'une bande médiane noire. Pattes fauve-olivâtre, fortement teintées de noir. Abdomen noir, tacheté de fauve, présentant en avant une tache longitudinale lancéolée brun-rouge, bordée de noir¹ et dans la moitié postérieure 2 séries longitudinales de points blancs convergeant un peu en arrière. Flancs jaunes, tachetés de noir. Région ventrale jaune, marquée de 3 lignes longitudinales noires, dont la médiane effacée; 2 taches noires sur la région épigastrique. Filières noirâtres. Pubescence formée de poils simples, noirs sur les parties noires, fauve-blanchâtre sur les parties jaunes du corps.

Yeux antérieurs subégaux, en ligne faiblement procurvée (une ligne tangente à la base des médians passerait vers le centre des latéraux), les médians 2 fois plus écartés l'un de l'autre que des latéraux, séparés par un intervalle 2 fois plus petit que leur diamètre. Ligne des yeux antérieurs occupant un espace transversal plus grand que celui des yeux de la 2^{me} ligne, qui sont séparés par un intervalle à peine plus petit que leur diamètre. Yeux postérieurs subégaux, disposés en trapèze de $\frac{1}{3}$ plus large en arrière que long.

Bandeau presque 2 fois plus long que le diamètre des yeux médians antérieurs.

Marge postérieure des chélicères armée de 3 dents, dont l'antérieure la plus grosse. Tibias I munis de 3-3 épines inférieures, dont

¹ Chez un exemplaire, la tache lancéolée antérieure est accompagnée de chaque côté d'une ligne blanche suivie d'un point blanc.

les 2 paires basales sont longues, sétiformes, couchées. Protarses I pourvus en dessous de 2-2-1 épines.

Epigyne (fig. 6) en plaque fauve-testacé, un peu plus longue que large, presque entièrement divisée par une dépression longitudinale médiane plus foncée, brusquement atténuée et triangulaire en avant. Les rebords latéraux de la dépression sont ovales, bombés et lisses.

Longueur totale, 8^{mm},5; longueur du céphalothorax, 3^{mm}.

Patella + tibia IV = 4^{mm},5.

Habitat : Natal, Polela (3 ♀, dont le type, M. DENNIS leg.) (Durban Museum).

H. funerea doit être très voisine des *H. albopunctata* Thorell 1899 du Cameroun et de *H. partita* (Cambridge) 1876 (= *H. deserticola* Simon 1889) d'Egypte, d'Ethiopie, d'Asie centrale et du N. de l'Inde. THORELL ne décrit, ni ne figure l'epigyne de *H. albopunctata* et les descriptions de SIMON (1889, p. 377) et de STRAND (1907, p. 293) ne permettent pas d'identifier avec certitude *H. funerea* à *H. partita* qui m'est inconnue en nature.

H. funerea diffère de *H. decemnotata* Simon 1909 de la Guinée portugaise, par sa taille plus faible et sa coloration, de *H. foveifera* Strand 1913 de l'Afrique centrale¹ et *innesi* Simon 1889 d'Egypte² par la forme de l'épigyne, de *H. cinerea* Simon 1898 du Congo par son sternum coupé d'une bande noire.

Pocock (1900^a, p. 249) signale 6 espèces de l'Inde, qui se différencient toutes de *H. funerea* par leur taille et la forme de leur épigyne.

Genre OCYALE Audouin 1825.

1. *Ocyale atalanta* (Audouin) 1825 (?).

(Fig. 7.)

(?) *Ocyale atalanta* (♀). AUDOUIN 1825, p. 150; 1827, p. 374, pl. 4, fig. 10.
Ocyale atalanta (♂). SIMON 1885, p. 358; 1892-1903, Vol. 2, p. 327, 342;
 STRAND 1907^a, p. 92.

¹ Cf. de LESSERT 1915, p. 54, pl. 2, fig. 34-36

² Cf. SIMON 1889, p. 378, note 1.

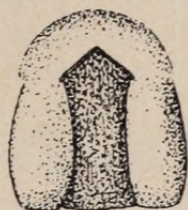


Fig. 6.

Hippasa funerea
n. sp. ♀.

Epigyne (sous
liquide).

Trochosa maculata. L. KOCH 1875, p. 78, pl. 7, fig. 5.

Ocyale maculata. STRAND 1907, p. 344.

(?) *Trochosa virulenta*. CAMBRIDGE, O. P. 1876, p. 600¹

(?) *Lycosa guttata*. KARSCH 1878, p. 329, pl. 2, fig. 1.

(?) *Trochosa guttata*. PAVESI 1881, p. 552.

(?) *Ocyale guttata*. STRAND 1913, p. 456.

Je rapporte à *Ocyale atalanta*² une femelle d'Eshowe (Zululand, A. COWLEY leg.), dont l'épigyne (sous liquide, fig. 7 B) forme une plaque brune un peu plus longue que large, atténuée et triangulaire

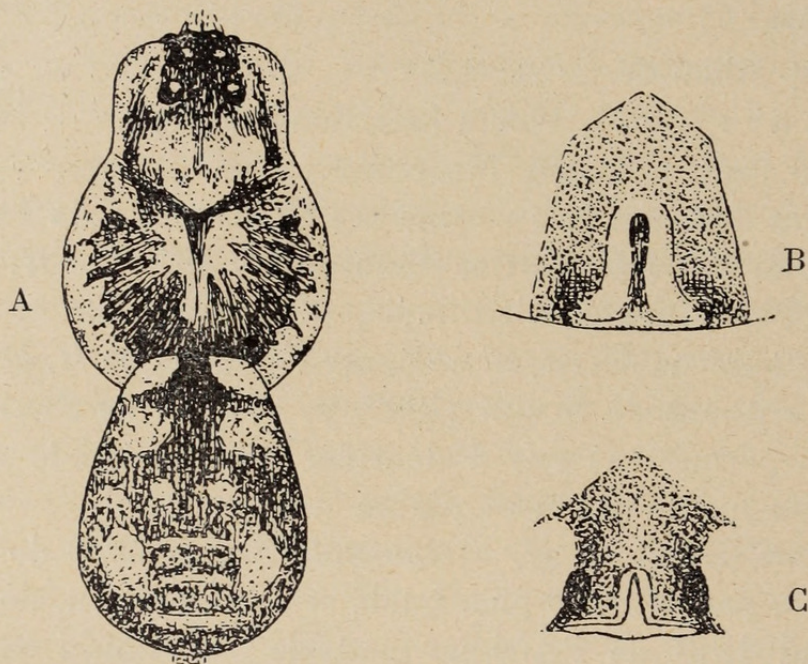


FIG. 7.

- A. — *O. atalanta* ♀. Corps vu par dessus.
 B. — *O. atalanta* ♀. Epigyne (sous liquide).
 C. — *O. spissa* ♀. Epigyne (sous liquide).

en avant, creusée, dans la moitié postérieure, d'un sillon longitudinal médian étroit, limité de chaque côté et en avant par un rebord fauve-testacé, lisse, bombé, assez large et, en arrière, par un sep-

¹ La description de CAMBRIDGE est vraiment trop sommaire pour que l'on puisse considérer *Trochosa virulenta* comme un synonyme certain d'*O. atalanta*.

² Du moins à la forme décrite sous ce nom par SIMON (1885, p. 358). D'après KULCZYNSKI (1911, p. 47) et STRAND (1913, p. 456) l'*Ocyale atalanta* figuré par SAVIGNY dans AUDOUIN (1827, pl. 4, fig. 10) rentrerait dans la famille des Pisauridae (non des Lycosidae). Si cette manière de voir était juste, le genre *Pisaura* Simon 1885 reprendrait le nom d'*Ocyale* et l'espèce décrite par SIMON sous le nom d'*Ocyale atalanta* deviendrait le type d'un genre nouveau de la famille des *Lycosidae*.

tum transversal brun-noir, peu visible, formant, avec le sillon longitudinal, un \perp , dont la barre transversale est un peu plus longue que la barre longitudinale (de $\frac{1}{3}$ environ). A sec, la plaque de l'épigyne est densément ponctuée et cachée par un revêtement de poils blancs.

Yeux et épines comme dans les descriptions de SIMON (1885, p. 357; 1892-1903, Vol. 2, p. 327).

Bandeau aussi haut environ que le diamètre des yeux médians antérieurs. Pattes jaune-testacé, distinctement annelées de noirâtre. Pubescence du céphalothorax blanchâtre, avec l'aire oculaire couverte de pubescence fauve-doré.

Patella + tibia IV (= 9mm) > III > I = II.

Longueur totale, 14mm,5; longueur du céphalothorax, 8mm,5; largeur du céphalothorax, 6mm,2.

Ocyale atalanta cité par STRAND (1907^a, p. 92) du Togo, *Trochosa maculata* décrit par L. KOCH (1875, p. 78, pl. 7, fig. 5) de l'Erythrée et *Trochosa guttata* signalé par PAVESI (1881, p. 552) d'Inhambane (Mozambique) présentent un épigyne très semblable à celui de notre exemplaire.

J'ai reçu du Ruanda (Kissenji) une ♀ qui paraît correspondre à *Lycosa spissa* Bösenberg et Lenz¹. La plaque de l'épigyne, brun-rouge, teintée de noir, est triangulaire en avant, un peu excavée de chaque côté, creusée, dans la moitié postérieure, d'un sillon plus large que chez *O. atalanta* et renfermant un septum dilaté en \perp en arrière, la barre postérieure transversale du \perp est 2 fois plus longue que la barre longitudinale, qui est atténuée en avant (fig. 7 C). Le sillon longitudinal n'est pas entouré, comme chez *O. atalanta*, d'un rebord bombé.

L'exemplaire que je rapporte à *L. spissa* est de taille un peu plus faible qu'*O. atalanta* (longueur totale, 12mm,5; longueur du céphalothorax, 7mm; patella + tibia IV = 8mm), dont il ne diffère que par la forme de l'épigyne; il ne serait pas impossible que ces différences ne proviennent que de l'état de maturité plus ou moins avancé de ces deux Araignées.

Trochosa lactea L. Koch² me paraît être une variété pâle et presque concolore d'*O. atalanta* ou d'*O. spissa*.

¹ Cf. BÖSENBERG und LENZ 1894, p. 39, pl. 2, fig. 18; STRAND 1907, p. 342.

² Cf. L. KOCH 1875, p. 80, pl. 7, fig. 6.

On connaît encore 2 espèces d'*Ocyale* africaines: *O. ingenua* (Karsch)¹ et *O. robusta* (Lenz)².

Genre *Lycosa* Latreille 1804.

1. *Lycosa spenceri* Pocock 1898.

L. Spenceri (♂♀). POCOCK 1898, p. 313, fig. 1; de LESSERT 1915, p. 60, pl. 3, fig. 59, 60, 66.

Espèce reconnaissable à la région inférieure du corps qui est noire (y compris les hanches) et à son épigyne caractéristique (Cf. de LESSERT 1915, fig. 66).

Connue du Natal, du Transvaal (Pocock) et de l'Afrique orientale (de LESSERT).

Habitat: Natal, Mayville (3 ♀, III, S. N. BLAIN leg.), Dumisa (1 ♀, Rev. F. SUTER, lég.). (Durban Museum).

2. *Lycosa darlingi* Pocock 1898.

L. Darlingii (♂♀). POCOCK 1898, p. 314, fig. 3.

Nos exemplaires ♀ diffèrent du type par leur taille un peu moins grande. La coloration des pattes varie du jaune au brun-noirâtre et les tibias IV sont armés en dessous de 2 taches noires (une basale et une apicale). Les chélicères sont revêtues en avant (sauf à l'extrémité inférieure) de pubescence jaune-orangé.

Les yeux antérieurs, en ligne procurvée, sont subégaux, subéquidistants, séparés par un intervalle de $\frac{1}{3}$ plus petit que leur diamètre. La ligne des yeux antérieurs occupe un espace transversal plus petit que la ligne des yeux médians postérieurs. L'intervalle des yeux de la 2^{me} ligne est à peine plus petit que leur diamètre.

Le bandeau est aussi long que le diamètre des yeux médians antérieurs.

Marge postérieure des chélicères pourvue de 3 dents.

La fossette de l'épigyne est divisée en 2 dépressions ovales par

¹ Cf. *Lycosa ingenua* (♀). KARSCH 1879, p. 354 (Chinchoxo). — *Ocyale ingenua*. STRAND 1913, p. 455. Peut-être une forme jeune d'*O. atalanta*?

² Cf. *Lycosa robusta* (♀). LENZ 1891, p. 171, pl. 1, fig. 7. — *Ocyale robusta*. STRAND 1907-08, p. 155 (Nossi-bé). *L. robusta* Lenz est considéré comme une *Hippasa* par SIMON 1892-1903, Vol. 2, p. 325.

un septum brusquement dilaté en \perp en arrière. La barre postérieure du \perp est plus large que la fossette, légèrement procurvée et plus longue que la barre longitudinale.

♀: Longueur totale, 13^{mm} à 15^{mm}; longueur du céphalothorax, 7^{mm} à 8^{mm},5.

Habitat: Griqualand, Amalfi (9 ♀, W. HAYGARTH leg.) (Durban Museum).

Lycosa darlingi est signalé du Natal, du Transvaal et du Mashonaland (Pocock). *L. transvaalica* Simon 1898¹ doit être une espèce très voisine, mais, chez cette espèce, la fossette de l'épigyne est beaucoup plus longue que large. *L. darlingi* présente également beaucoup d'affinités avec *L. aurata* Purcell² (Transvaal), *cecili* Pocock³ (Mashonaland), *schreineri* Purcell⁴ (Colonie du Cap), *subvittata* Pocock⁵ (Colonie du Cap), sans être cependant synonyme de cette dernière espèce comme l'indique PURCELL (1903^a, p. 118).

Famille Salticidae.

A. SALTICIDAE PLURIDENTATI.

Genre PORTIA Karsch 1878.

1. *Portia kenti* n. sp.

(Fig. 8.)

♂: Céphalothorax, chélicères, pièces buccales, sternum fauve-rouge, maculés de noirâtre. Pattes-mâchoires fauves, avec les fémurs et les patellas tachés de noir en dessous, les tibias et tarses noirâtres. Pattes I fauves, teintées de noirâtre. Pattes II à IV fauves, les hanches II tachées de noir en avant.

Abdomen (très détérioré) noirâtre, orné de 2 (?) lignes testacées, un peu recurvées. Pubescence frottée.

Céphalothorax (fig. 8 A) plus long (2^{mm},5) que large (2^{mm}),

¹ Cf. SIMON 1898, p. 26.

² Cf. PURCELL 1903^a, p. 119, pl. 8, fig. 12.

³ Cf. POCOCK 1901, p. 338.

⁴ Cf. PURCELL 1903, p. 35.

⁵ Cf. POCOCK 1900, p. 327.

incliné en arrière, plan et horizontal entre les yeux postérieurs, puis brusquement incliné en avant depuis les yeux de la 2^{me} ligne.

Yeux antérieurs (fig. 8 B) subconnivents, en ligne fortement recurvée (une ligne tangente au sommet des médians passerait par le centre des latéraux). Yeux médians antérieurs 2 fois plus gros que les latéraux. Yeux de la 2^{me} ligne plus rapprochés des yeux latéraux antérieurs que des postérieurs, formant avec la ligne des yeux antérieurs un trapèze plus étroit en arrière qu'en avant et avec les yeux postérieurs un trapèze plus étroit en avant qu'en arrière. Yeux postérieurs de même grosseur que les latéraux antérieurs, séparés des yeux de la 2^{me} ligne par un intervalle plus grand que leur propre diamètre. Groupe oculaire plus large que long, à

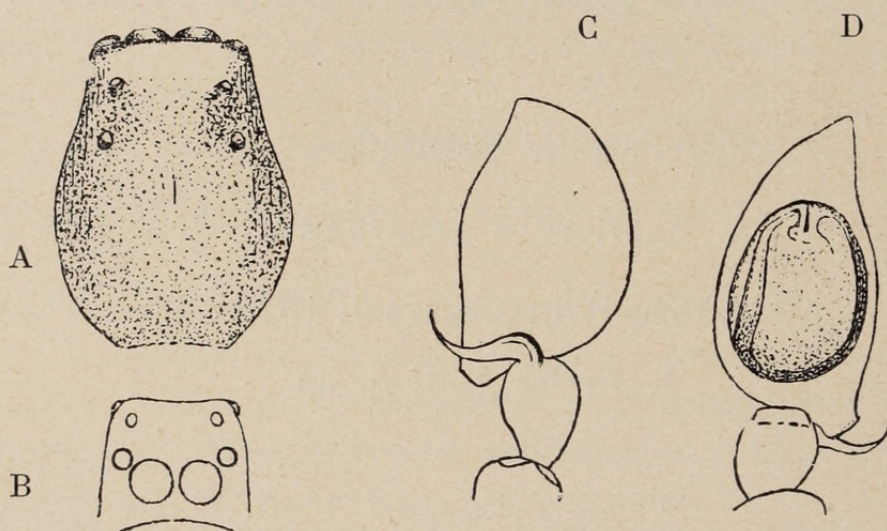


FIG. 8. — *Portia kenti* n. sp. ♂.

- A. — Céphalothorax vu par dessus.
- B. — Céphalothorax vu par devant.
- C. — Patte-mâchoire gauche vue par dessus et un peu par derrière.
- D. — Patte-mâchoire gauche vue par dessous.

peine plus large en avant qu'en arrière, occupant environ les $\frac{2}{5}$ de la longueur du céphalothorax et plus étroit que ce dernier en arrière.

Bandeau vertical, égal environ au rayon des yeux médians antérieurs.

Chélicères subverticales, à bords presque parallèles. Marge antérieure (supérieure) présentant 3 dents séparées, dont l'antérieure la plus grosse, marge postérieure armée de 5 dents subcontiguës, beaucoup plus petites que les antérieures.

Labium atteignant le milieu environ des lames, qui sont obtuses et légèrement divergentes.

Pattes-mâchoires (fig. 8 C et D). Tibia un peu plus court que la patella, muni, du côté interne, d'une touffe de crins noirs et, à son extrémité, en dessus, d'une apophyse grêle, dirigée perpendiculairement en dehors, puis recourbée en avant, régulièrement atténuée, aiguë. Tarse plus long que les 2 articles précédents, 2 fois plus long que large, atténué et obliquement tronqué en avant en rostre 2 fois plus court que le bulbe; angle postérieur externe un peu prolongé et obliquement tronqué. Bulbe ovale, sans apophyses saillantes.

Pattes I plus longues et un peu plus robustes que les suivantes (les pattes IV manquent). Pattes I présentant une frange de poils noirâtres serrés à l'extrémité des fémurs en dessous, sous les patellas sur les côtés supérieur et inférieur des tibias (ces poils étant particulièrement longs sous les tibias). Tibias I et II pourvus de 2-2 épines en dessous et de 2 épines de chaque côté. Protarses antérieurs munis de 2-1 épines inférieures et de 2 épines de chaque côté.

Patella + tibia I > II > III.

Longueur totale, 5^{mm}; longueur du céphalothorax, 2^{mm},5.

Patella + tibia I = 3^{mm},2.

H a b i t a t : Natal, Umbilo (1 ♂, type, XI, C. C. KENT leg.) (Durban Museum).

Il se pourrait que *P. kenti* fût le ♂ de *P. schultzi* Karsch 1878 (= *Brettus martini* Simon 1900) du Natal et du Zululand. *P. durhani* Peckham 1903 se distingue aisément de *P. kenti* par la forme des pattes-mâchoires. Cette espèce est du reste douteuse pour le genre, les yeux de la 2^{me} ligne étant, d'après la fig. 2 de PECKHAM (1903, p. 183, pl. 19), aussi écartés que ceux de la première et de la 3^{me} ligne.

P. (Boethus ?) deciliata Strand 1907 de Nossibé diffère de *P. kenti* par sa patte-mâchoire très compliquée.

Le genre *Portia* est encore représenté en Afrique par *P. russata* Simon 1900 de Madagascar.

Genre *HOLCOLAETIS* Simon 18851. *Holcolaetis xerampelina* Simon 1885.

H. xerampelina (♀). SIMON 1885, p. 394; 1892-1903, Vol. 2, p. 453, fig. 518 à 521, A-D; (♂♀) STRAND 1909, p. 181; de LESSERT 1925, p. 432, fig. 5, 6¹.

Très répandu dans l'Afrique tropicale; signalé du Gabon, de Mozambique, de la région du Kilimandjaro, de Zanzibar et de l'Ethiopie.

♀: Longueur totale, 13^{mm}; longueur du céphalothorax, 5^{mm},5.

Habitat: Natal, Durban (1 ♀, E.-C. CHUBB leg.) (Durban Museum).

Genre *MYRMARACHNE* Mac Leay 1839.1. *Myrmarachne foreli* n. sp.

(Fig. 9, 10.)

♂: Céphalothorax fauve-rouge; yeux situés sur des taches noires anastomosées. Chélicères brun foncé, un peu éclaircies vers le bord externe. Pièces buccales, sternum testacés, tachés de noirâtre. Pattes testacées, rayées de brun; fémurs, tibias et protarses I nettement rayés de brun de chaque côté; sur les pattes II à IV ces raies sont moins distinctes. Tous les tarses jaune clair. Scuta de l'abdomen brun foncé. Filières noires.

Céphalothorax (fig. 9) très finement chagriné, 2 fois plus long (2^{mm},2) que large en avant (1^{mm}). Région céphalique un peu plus longue (1^{mm},2) que large (1^{mm}), à bords latéraux légèrement incurvés, plus longue et un peu plus large que la région thoracique². Vue de profil, la région céphalique est plane, la région thoracique convexe, aussi élevée que la région céphalique³, séparée de cette dernière par une dépression transversale peu profonde.

¹ Les exemplaires de *H. xerampelina* mentionnés du Kilimandjaro (de LESSERT 1925, p. 432) proviennent de Ngare na nyuki (XI).

² La région thoracique mesure 1^{mm} de long et 0^{mm},9 de large.

³ Chez les *Myrmarachne*, la région thoracique est généralement plus basse que la région céphalique.

Yeux antérieurs contigus, en ligne recurvée (une ligne tangente à la base des latéraux passerait par le centre des médians), les médians 2 fois plus gros que les latéraux. Yeux de la 2^{me} ligne 3 fois environ plus petits que les latéraux antérieurs, un peu plus rapprochés de ces derniers que des postérieurs. Yeux postérieurs de même grosseur que les latéraux antérieurs. Groupe oculaire un peu plus large que long, un peu plus large en arrière qu'en avant, un peu plus étroit en arrière que la région céphalique.

Bandeau très réduit.

Chélicères projetées en avant, beaucoup plus courtes (1^{mm},2) que le céphalothorax (2^{mm},2), planes et rugueuses en dessus, indistinctement striées, carénées sur les bords, avec le bord interne presque droit, le bord externe assez arqué. Marge supérieure (interne) pourvue de 4 fortes dents, les 2 antérieures (près de la base du crochet) arquées en avant, les 2 postérieures dirigées obliquement en arrière. Marge inférieure (externe) armée de 5 à 7 petites dents, 3 ou 4 dans la moitié antérieure et 2 ou 3 vers la base.

Crochet légèrement sinueux, dépourvu de dent.

Sternum étroit, resserré entre les hanches II, terminé en pointe effilée entre les hanches IV.

Tibias I munis en dessous de 4-4 épines couchées; 2-2 épines sous les protarses I. Pattes-mâchoires jaunes, teintées de brunâtre, avec les tibias et la base des tarses bruns. Vu de profil (fig. 10), le tibia est un peu plus court que la patella, un peu élargi en avant, environ aussi large en avant que long, muni, vers le milieu de son bord antérieur du côté externe, d'une apophyse dirigée obliquement en avant et en bas, arquée en dedans et en haut, régulièrement atténuée vers l'extrémité. Tarse de même longueur que patella + tibia; rostre plus court que le bulbe, obtus. Bulbe comme chez *M. kiboschensis* (Cf. de LESSERT 1925, p. 442, fig. 19).

Pédicule (0^{mm},8) bisegmenté, avec les 2 segments subégaux, le bord postérieur du segment antérieur muni d'un petit tubercule.

Abdomen (fig. 9) cylindrique, 3 fois plus long que large, cuirassé

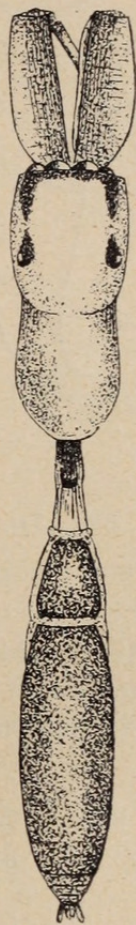


FIG. 9.
Myrmarachne
foreli n. sp. ♂.
Corps vu par
dessus.

en dessus de 2 scuta très finement chagrinés et granuleux, dont l'antérieur est 3 fois plus court que le postérieur et subtrapézoïdal.

Région épigastrique indurée; région ventrale présentant un scutum longitudinal à bords parallèles.

Longueur totale, 6^{mm}; longueur du céphalothorax (sans les chélicères), 2^{mm},2.

Habitat: Natal, Umbilo (1 ♂, type, L. BEVIS leg., X) (Durban Museum).

Par sa forme allongée et sa coloration, *M. foreli* rappelle *M. ichneumon* (Simon)¹ et *foenisex* Simon²; il se différencie de *M. ichneumon* par ses tarsi jaunes et des deux espèces précitées par les chélicères plus courtes, la région thoracique au même niveau que la région céphalique, le tibia de la patte-mâchoire un peu plus court que la patella.

M. sansibarica Strand³ et *solitaria* Peckham⁴ sont également des formes voisines de *M. foreli*.

Cette espèce a été capturée en même temps qu'une Fourmi, *Sima natalensis* Sm., avec laquelle elle présente une très grande ressemblance mimétique.

2. *Myrmarachne natalica* n. sp.

(Fig. 11.)

♀: Céphalothorax noir; de chaque côté, un trait blanc oblique marque la limite des régions céphalique et thoracique. Pattes-mâchoires brun foncé, avec les fémurs éclaircis. Chélicères brun-rouge clair. Pièces buccales, sternum noirs. Pattes I: hanches blanc-testacé, trochanters blanc-testacé, rayés de noir à leur bord interne; fémurs, patellas, tibias et protarses blanc-testacé, rayés

¹ *Salticus ichneumon* (♂). SIMON 1885, p. 387 (Zanzibar); PECKHAM 1892, p. 17, pl. 1, fig. 7; *M. ichneumon* (♀). PECKHAM 1903, p. 250 (Mashonaland).

² *M. foenisex* (♂). SIMON 1909, p. 415 (Congo français).

³ *M. sansibarica* (♂). STRAND 1910, p. 13 (Zanzibar).

⁴ *M. solitarius* (♂). PECKHAM 1903, p. 250, pl. 29, fig. 5 (Colonie du Cap). *M. ichneumon*, *foenisex*, *sansibarica* et *solitaria* me sont inconnus en nature.



FIG. 10.

Myrmarachne foreli n. sp. ♂.
Patte-mâchoire gauche vue du côté externe.

de noir de chaque côté, tarses blanc-testacé. Pattes II: articles rayés de noir comme pattes I (fémurs incomplètement), hanches noires, trochanters tachés de noir. Pattes III noires, sauf le bord inférieur des patellas; protarses noirâtres à la base, éclaircis vers l'extrémité, tarses blanc-testacé. Pattes IV noires à l'exception des trochanters qui sont presque entièrement testacés, le bord inférieur des patellas, les tarses qui sont testacés, rayés de noir dans leur moitié basale.

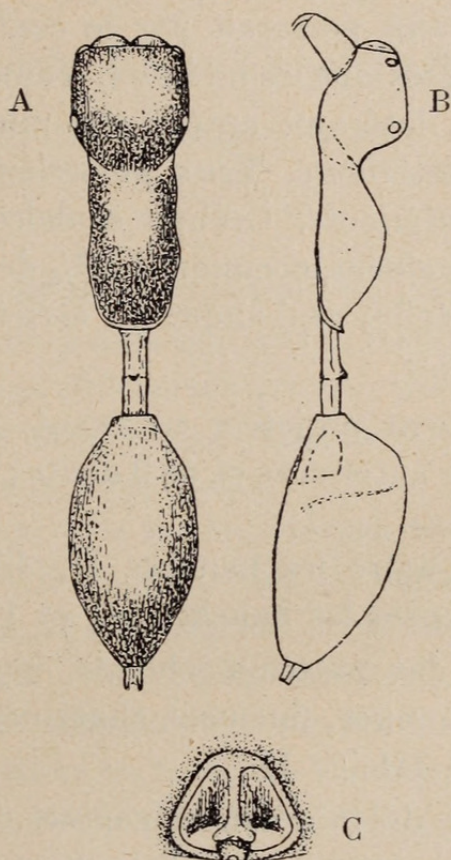


FIG. 11. — *Myrmarachne natalica* n. sp. ♀

- A. — Corps vu par dessus.
 B. — Corps vu de profil.
 C. — Epigyne (sous liquide).

Pédicule noir; abdomen noir, orné d'une ligne oblique blanche sur les flancs en avant.

Pubescence formée de poils blancs simples espacés, formant 2 bandes obliques en arrière, de chaque côté de la région céphalique. Cils et barbes formés de poils simples, blancs.

Céphalothorax (fig. 11 A) nettement chagriné, plus de 2 fois plus long ($3^{\text{mm}},5$) que large en avant ($1^{\text{mm}},5$). Région céphalique

environ aussi large que longue, rétrécie en arrière, à bords latéraux incurvés, séparée par un profond sillon¹ de la région thoracique qui est de $\frac{1}{3}$ plus longue que la région céphalique, de $\frac{1}{3}$ environ plus étroite, à bords latéraux parallèles et sinueux.

Vue de profil (fig. 11 B), la région céphalique est presque plane, plus élevée que la région thoracique, qui est nettement convexe et finement rebordée.

Yeux antérieurs contigus, en ligne recurvée (une ligne tangente à la base des latéraux passerait par le centre des médians), les médians 2 fois plus gros que les latéraux. Yeux de la 2^{me} ligne 2 fois plus petits que les latéraux antérieurs, plus rapprochés de ces derniers que des postérieurs. Yeux postérieurs un peu plus gros que les latéraux antérieurs. Groupe oculaire un peu plus large que long, à bords parallèles, occupant les $\frac{2}{3}$ de la région céphalique aussi large que la région céphalique en arrière.

Bandeau très réduit.

Chélicères légèrement projetées en avant, pourvues de 5 dents écartées sur la marge antérieure et de 9 dents contiguës sur la marge postérieure.

Sternum resserré entre les hanches II, dilaté en arrière, puis brusquement effilé entre les hanches III et IV.

Tibias et tarse des pattes-mâchoires déprimés, en forme de palette ovale subacuminée, finement chagrinée. Patella + tibia IV (= 3^{mm},2) > I > III > II.

Tibias I pourvus de 5-5 longues épines inférieures couchées; protarses I munis en dessous de 2-2 longues épines couchées.

Pédicule (1^{mm}) bisegmenté, le segment antérieur plus long que le postérieur, portant, sur son bord postérieur, un petit tubercule conique bien visible de profil.

Abdomen ovale, de $\frac{1}{3}$ plus long que large, sans scutum.

Epigyne (fig. 11 C) présentant une fossette subtriangulaire, à angles arrondis, plus large en arrière que longue, finement rebordée, divisée par une carène longitudinale dilatée en arrière en forme de \perp . Bord postérieur muni d'un tubercule médian.

Longueur totale, 7^{mm},5; longueur du céphalothorax, 3^{mm},5.

¹ Beaucoup plus profond que chez *M. foreli* n. sp. ou *kiboschensis* Lessert 1925.

Habitat : Natal, Amanzimtoti (1♀, type, X, L. BEVIS leg.) (Durban Museum).

M. natalica est sans doute voisin (mais différent par l'épigyne) de *M. marshalli* Peckham¹ du Mashonaland; il présente également beaucoup de caractères communs avec *M. tristis* (Simon)² de l'Yemen, dont la forme de l'épigyne m'est inconnue.

B. SALTICIDAE UNIDENTATI.

Genre RHENE Thorell 1869.

1. *Rhene cooperi* n sp.

(Fig. 12.)

♀: Céphalothorax brun-noir; chélicères, pièces buccales, sternum brun-rouge. Pattes et pattes-mâchoires testacées, incomplètement cerclées de brun-noir aux articulations; hanches et fémurs des pattes I teintées de brun-rouge. Abdomen blanc-testacé, orné de 3 paires d'impressions brun-rouge.

Corps et pattes couverts de pubescence blanche assez longue et serrée, formée de poils simples. Cils et barbes blancs.

Céphalothorax (fig. 12 A) chagriné, aussi long que large (2^{mm},3)³, fortement atténué en avant et en arrière depuis les yeux postérieurs avec les bords arqués. Vue de profil, la région céphalique est très légèrement convexe, la région thoracique fortement inclinée en arrière. Chélicères verticales et normales, leur marge antérieure munie de 2 dents contiguës, leur marge postérieure d'une dent robuste triangulaire.

Yeux antérieurs en ligne recurvée (une ligne tangente au bord inférieur des latéraux passerait un peu au-dessus du centre des médians, une ligne tangente au bord supérieur des yeux antérieurs serait à peine recurvée), les médians 2 fois plus gros que les latéraux, séparés l'un de l'autre par un intervalle un peu plus petit que leur rayon et des latéraux par un intervalle égal au diamètre

¹ Cf. PECKHAM 1903, p. 249, pl. 29, fig. 6.

² Cf. SIMON 1882, p. 212 (♀); 1890, p. 115 (♂); PECKHAM 1892, p. 22, pl. 3, fig. 2.

³ Comme la région antérieure de l'abdomen recouvre un peu la base de la région thoracique, le céphalothorax paraît un peu plus large que long.

de ces derniers. Yeux de la 2^{me} ligne 2 fois plus petits que les latéraux antérieurs, plus de 5 fois plus rapprochés des antérieurs que des postérieurs, séparés des latéraux antérieurs par un intervalle égal environ au diamètre de ces derniers. Groupe oculaire aussi large que le céphalothorax en arrière, fortement atténué en avant, presque 2 fois plus large en arrière que long, dépassant un peu en arrière la moitié de la longueur du céphalothorax.

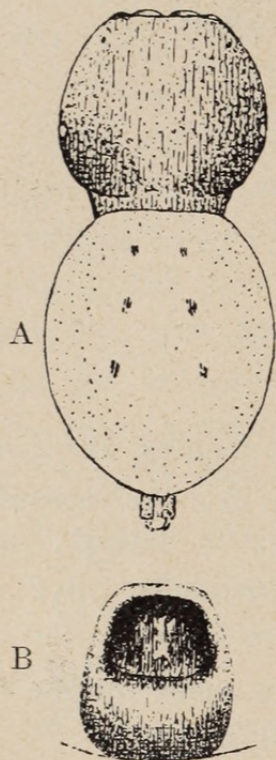


FIG. 12.

Rhene cooperi n. sp. ♀.
A. — Corps vu par dessus.
B. — Epigyne (à sec).

Bandeau un peu moins long que le rayon des yeux médians antérieurs. Pattes courtes, les antérieures très robustes; tibia I mutique, un peu plus court que la patella¹ (les protarses et tarses I font défaut chez notre exemplaire).

Abdomen ovale, un peu plus long que large.

Epigyne (fig. 12 B) en plaque un peu plus longue que large, légèrement atténuée en avant, creusée d'une fossette antérieure brun-noir plus large que longue, un peu plus large en arrière qu'en avant, à angles arrondis, séparée du pli épigastrique par un rebord bombé et lisse, aussi long que la fossette.

Longueur totale, 5^{mm}; longueur du céphalothorax, 2^{mm},3.

Habitat : Umbilo (1 ♀, type, IV, L. BEVIS leg.) (Durban Museum).

Rhene cooperi est peut-être la ♀ d'un des ♂ décrits par les PECKHAM, *R. banksi* (Colonie du Cap) ou *biguttata* (Natal)². Il diffère de *R. capensis* Strand 1909³ de la Colonie du Cap par la forme de l'épigyne.

¹ Comme chez les *Homalattus*, dont notre exemplaire ne diffère que par la disposition des yeux antérieurs.

² Cf. PECKHAM 1902, p. 335 et 1903, p. 220 et 221, pl. 24, fig. 3 et 4.

³ Cf. STRAND 1909^b, p. 592.

Genre BARYPHAS Simon 1902.

1. *Baryphas ahenus* Simon 1902.

(Fig. 13.)

B. ahenus (♂♀). SIMON 1902, p. 42; 1892-1903, Vol. 2, p. 680, fig. 807 à 809, A-C; PECKHAM 1903, p. 207, pl. 24, fig. 2; STRAND 1907^b, p. 721; 1909^b, p. 593.

Chez la ♀, la plaque de l'épigyne (fig. 13) est aussi large en arrière que longue, marquée d'une fossette semicirculaire testacée, un peu plus large en arrière que longue, présentant en arrière un septum médian et séparée du bord postérieur par un intervalle brun-noir, lisse, moins long que la fossette.

♂: Longueur totale, 6mm,5 à 10mm; longueur du céphalothorax, 3mm,5 à 5mm.

♀: Longueur totale, 7mm à 8mm,5; longueur du céphalothorax, 3mm,5.

H a b i t a t : Natal, Durban (♂ ♀, C.-B. COOPER leg.); Umtamvuna (♀ VIII, L. BEVIS leg.) (Durban Museum).

Paraît très fréquent dans l'Afrique australe.

Le genre *Baryphas*, exclusivement africain, comprend encore 2 espèces: *B. eupogon* Simon 1902, de l'île S. Thomé et *B. jullieni* Simon 1902, de Monrovia (Liberia).

Genre THYENE Simon 1885.

1. *Thyene ogdeni* Peckham 1903.

T. ogdeni (♂♀). PECKHAM 1903, p. 224, pl. 25, fig. 2-2d; de LESSERT 1925, p. 488, fig. 73.

H a b i t a t : Natal, Umbilo (1 ♀ VIII, L. BEVIS leg.) (Durban Museum).

Signalé par les PECKHAM de la Colonie du Cap, du Mashonaland et du Natal, par de LESSERT du Kilimandjaro.

2. *Thyene crudelis* Peckham 1903.

T. crudelis (♂). PECKHAM 1903, p. 229, pl. 25, fig. 5.

♂: Taches claires du céphalothorax formées de squamules jaunâtres; bande médiane de l'abdomen jaunâtre en avant, formée

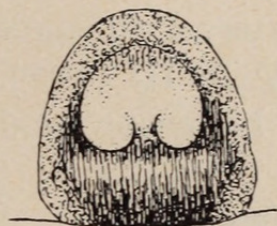


FIG. 13.

Baryphas ahenus
Simon. ♀.

Epigyne (sous liquide).

de squamules gris-nacré et bordée de pubescence rouge-orangé en arrière. Aire oculaire à peine plus large en arrière qu'en avant, occupant le $\frac{1}{3}$ environ de la longueur du céphalothorax.

Chélicères projetées en avant et divergentes, leur face antérieure légèrement convexes à la base; crochet robuste et arqué; marge antérieure présentant 2 dents géminées coniques, subégales; marge postérieure munie d'une dent robuste un peu arquée, non atténuée mais tronquée à l'extrémité, avec l'angle interne obtus, l'externe aigu.

Lames-maxillaires (fig. 5 B des PECKHAM) très dilatées du côté externe, subaiguës, inermes. Patella + tibia I (5mm,2) > II > IV > III (3mm).

Longueur totale, 8mm,5; longueur du céphalothorax, 4mm.

H a b i t a t : Natal, Umbilo (2 ♂, L. BEVIS leg.) (Durban Museum).

T. crudelis, décrit du Natal, se rapproche beaucoup plus par la forme du céphalothorax des lames maxillaires, la disposition des yeux de *T. ogdeni* Peckham que des *T. inflata* et *bucculenta* (Gerstäcker).

Genre HYLLUS C.-L. Koch 1846

1. *Hyllus perspicuus* Peckham 1903.

H. perspicuus (♂♀). PECKHAM 1903, p. 209, pl. 23, fig. 2; de LESSERT 1925, p. 492, fig. 75.

H a b i t a t : Natal, Umbilo, Durban (3 ♂, L. BEVIS leg.) (Durban Museum).

Cette espèce a été mentionnée par les PECKHAM du Natal, du Mashonaland et de Zanzibar. Nous l'avons reçue également du Kilimandjaro (Prof. Dr Y. SJÖSTEDT).

2. *Hyllus brevitarsis* Simon 1902.

(Fig. 14.)

H. brevitarsis (♂♀). SIMON 1902^a, p. 391.

H. rubrotinctus (♂). STRAND 1906, p. 665; 1909^a, p. 68.

♂: Yeux antérieurs en ligne recurvée (une ligne tangente à la base des latéraux passerait dans la moitié supérieure des médians), les médians subconnivents, 2 fois plus gros que les latéraux, séparés

des latéraux par un intervalle presque égal au diamètre de ces derniers. Yeux de la 2^{me} ligne plus de 2 fois plus petits que les latéraux antérieurs, un peu plus rapprochés de ces derniers que des postérieurs. Yeux postérieurs de même grosseur que les latéraux antérieurs, séparés des yeux de la 2^{me} ligne par un intervalle plus grand que leur diamètre. Groupe oculaire presque 2 fois plus large que long, occupant le $\frac{1}{3}$ de la longueur du céphalothorax, à peine plus large en arrière qu'en avant. Bandeau égal environ au diamètre des yeux médians antérieurs.

Apophyse tibiale des pattes-mâchoires découpée à l'extrémité en

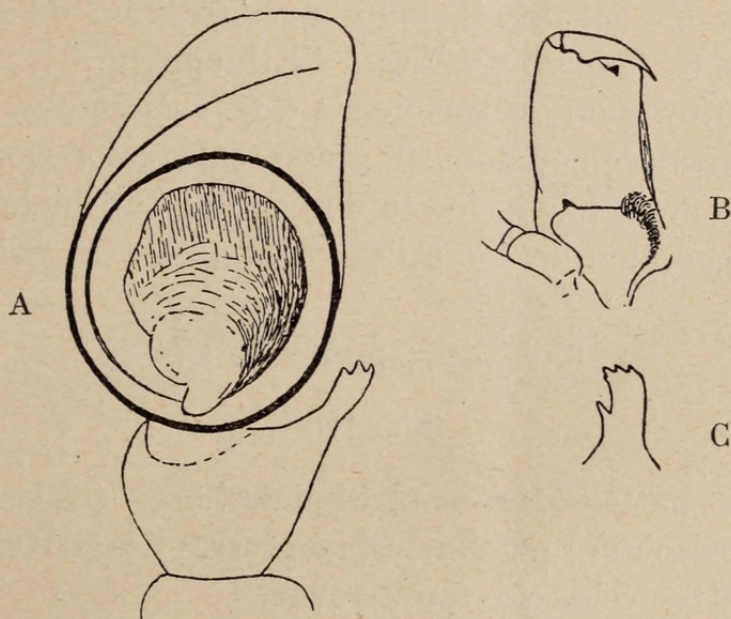


FIG. 14. — *Hyllus brevitarsis* Simon. ♂.

- A. — Patte-mâchoire gauche vue par dessous.
 B. — Chélicère et lame-maxillaire gauche vues par dessous.
 C. — Apophyse tibiale vue par dessous.

dents plus ou moins développées¹ et munie d'une dent supérieure plus longue (fig. 14 A et C).

Tarses présentant d'épaisses scopulas dans la moitié antérieure; tibias et protarses munis en dessous de franges de crins noirs et blancs. Deux épines latérales antérieures sur les tibias I et II, protarses antérieurs sans épines latérales.

Pubescence du céphalothorax d'un blanc sale, mêlée de pubes-

¹ La dentition de l'apophyse tibiale est un peu variable.

cence fauve clair; milieu de la région thoracique ornée d'une tache plus claire; cils blancs et fauve clair, barbes et crins de la face antérieure des chélicères d'un blanc sale. Pattes-mâchoires revêtues de poils et de crins fauves et gris. Pattes I (surtout la face antérieure des fémurs) couvertes de pubescence simple, rouge. Abdomen uniformément couvert de pubescence gris argenté.

Longueur totale, 10mm à 13mm; longueur du céphalothorax, 4mm,5 à 6mm.

Habitat: Natal, Durban (7 ♂, dont le type, E.-C. CHUBB leg.) (Durban Museum).

Si *H. rubrotinctus* Strand est réellement, comme je le crois, synonyme de *H. brevitarsis*, l'aire de dispersion de cette espèce s'étendrait de la Colonie du Cap à l'Ethiopie.

H. brevitarsis Simon est très voisin d'*H. holochalceus* Simon 1909 de l'île Fernando Poo, dont il présente la coloration uniforme, mais dont il diffère par la forme de l'apophyse tibiale des pattes-mâchoires aiguë, non dentée à l'extrémité, chez *H. holochalceus*.

3. *Hyllus marleyi* n. sp.

(Fig. 15.)

♀: Corps et pattes brun-noir; céphalothorax éclairci au niveau de la strie thoracique; patellas, tibias, tarsi des pattes-mâchoires, tarsi des pattes éclaircis, fauve-rouge.

Pubescence du céphalothorax brunâtre; sur la région thoracique, une bande médiane de pubescence blanchâtre passant au fauve sur la région oculaire. Cils, crins du bandeau¹, des chélicères, des pattes mâchoires gris-fauve. Pubescence de l'abdomen brun-noir; une tache longitudinale antérieure blanche élargie et mêlée de pubescence brune en arrière, atteignant presque le milieu de l'abdomen, suivie en arrière de quelques chevrons indistincts de pubescence claire. De chaque côté, dans la moitié postérieure, 3 taches blanches irrégulières, comme chez *H. treleaveni* Peckham². L'abdomen est parsemé de longs crins, noirs sur les parties noires, blancs sur les taches blanches. Pubescence de la région ventrale gris-fauve. Filières noires.

¹ Les crins du bandeau sont disposés en séries transversales.

² Cf. PECKHAM 1903, pl. 23, fig. 3.

Yeux antérieurs en ligne recurvée (une ligne tangente à la base des latéraux passerait dans la moitié supérieure des médians), les médians subconnivents, séparés des latéraux par un intervalle égal au rayon de ces derniers. Yeux de la 2^{me} ligne plus de 2 fois plus petits que les latéraux antérieurs, 2 fois plus rapprochés de ces derniers que des postérieurs. Yeux postérieurs de même grosseur que les latéraux antérieurs, séparés des yeux de la 2^{me} ligne par un intervalle plus grand que leur diamètre. Groupe oculaire presque 2 fois plus large que long, occupant le $\frac{1}{3}$ environ de la longueur du céphalothorax, un peu plus large en arrière qu'en avant et beaucoup plus étroit que le céphalothorax en arrière.

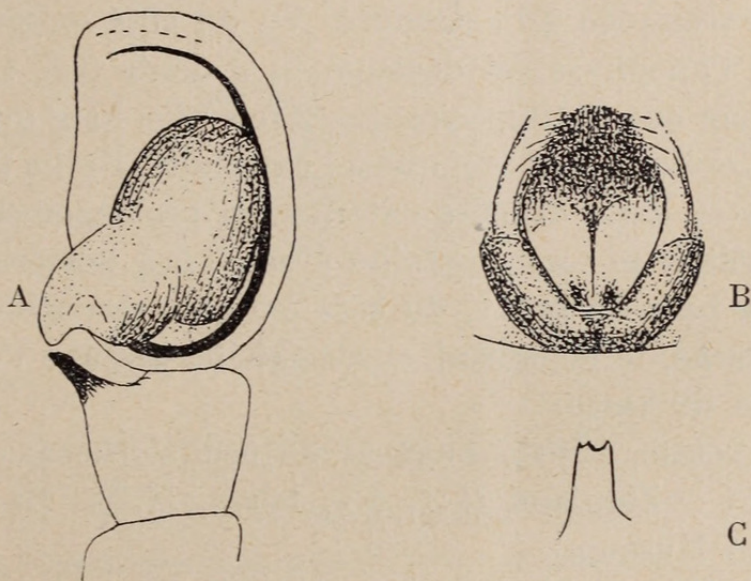


FIG. 15. — *Hyllus marleyi* n. sp.

- A. — Patte-mâchoire vue par dessous.
 B. — Epigyne.
 C. — Apophyse tibiale vue du côté externe.

Un fascicule de crins dirigés obliquement en avant sous chacun des yeux de la 2^{me} ligne.

Tibias I et II pourvus de 3-3 épines en dessous; tibias I de 2, tibias II de 3 épines latérales antérieures. Protarses I et II munis de 2-2 épines inférieures, dépourvus d'épines latérales. Protarses III présentant 2 verticilles, protarses IV, 3 verticilles d'épines.

Epigyne (fig. 15 B) creusé d'une fossette ovale, à grand axe longitudinal, mal définie en avant, rétrécie en arrière, où elle est limitée par 2 rebords assez larges, lisses, obliques, convergeant en arrière. La fossette est divisée longitudinalement par une fine carène.

Longueur totale, 14^{mm}; longueur du céphalothorax, 6^{mm},5.

♂: Pubescence du céphalothorax fauve, y compris les crins du bandeau et des chélicères. Sur la région thoracique, une tache médiane blanche. Abdomen uniformément couvert de pubescence fauve. Yeux et épines des pattes comme chez la ♀, les tibias II munis de 2 épines latérales antérieures seulement.

Chélicères normales, à bords parallèles. Lames-maxillaires dilatées et arrondies à leur bord externe, faiblement dentées. Tibias frangés de crins noirs.

Pattes-mâchoires (fig. 15 A) brun foncé. Tibia un peu plus court en dessus que la patella, pourvu, au milieu de son bord antérieur externe, d'une apophyse grêle, dirigée obliquement en dehors, obliquement tronquée à l'extrémité. Vu du côté externe, le bord antérieur de l'apophyse est découpé en 3 dents (fig. 15 C). Tarse 3 fois plus long que le tibia, presque 2 fois plus long que large, un peu arqué et obliquement tronqué à l'extrémité. Bulbe petit, ovale, présentant à sa base, du côté externe, un prolongement conique, arqué, débordant le tarse, entaillé à son bord postérieur. Stylus naissant à la base du bulbe, du côté externe, recourbé le long de son bord interne, le dépassant et atteignant presque l'angle antérieur externe du tarse.

Longueur totale, 10^{mm}; longueur du céphalothorax, 5^{mm}.

H a b i t a t : Zululand (1 ♂, 1 ♀, types, H.-W. BELL-MARLEY leg.) (Durban Museum).

Comparé à *H. bevisi* Lessert¹, le ♂ de *H. marleyi* s'en distingue par le tibia de la patte-mâchoire plus court, le prolongement postérieur du bulbe plus large, entaillé en arrière, le stylus plus arqué. La ♀ doit être voisine de *H. treleaveni* Peckham.

Genre EVARCHA Simon 1902.

1. *Evarcha natalica* Simon 1902.

(Fig. 16.)

E. natalica (♂). SIMON 1892-1903, Vol. 2, p. 697, fig. 836 F; 1902^a, p. 398.

♂: Le céphalothorax est brun-rouge, teinté de noirâtre, avec les taches oculaires noires. Cils blancs. Pattes brun-rouge; hanches

¹ Cf. de LESSERT 1925, p. 495, fig. 77, 78.

et bases des fémurs III et IV éclaircis. Abdomen noirâtre, coupé d'une bande médiane longitudinale testacée à bords un peu dentés.

Yeux antérieurs subconnivents, en ligne recurvée (une ligne tangente à la base des latéraux passerait près du centre des médians), les médians 2 fois plus gros que les latéraux. Yeux de la 2^{me} ligne 3 fois plus petits que les latéraux antérieurs, situés presque à égale distance de ces derniers et des postérieurs. Yeux postérieurs environ de même grosseur que les latéraux antérieurs, séparés des yeux de la 2^{me} ligne par un intervalle à peine plus grand que leur propre diamètre. Groupe oculaire de $\frac{1}{3}$ plus large que long, atteignant

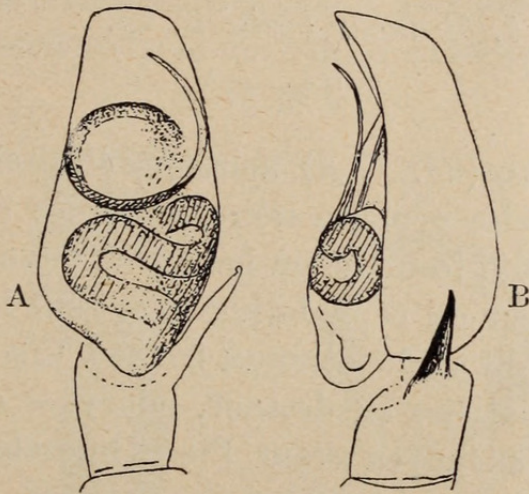


FIG. 16. — *Evarcha natalica* Simon. ♂.

- A. — Patte-mâchoire gauche vue par dessous.
B. — Patte-mâchoire gauche vue du côté externe.

presque la moitié de la longueur du céphalothorax, à peine plus large en avant qu'en arrière, et un peu plus étroit que le céphalothorax en arrière.

Bandeau 3 fois plus court que le diamètre des yeux médians antérieurs.

Pattes-mâchoires (fig. 16) fauve-rouge. Vu de profil, le tibia est un peu plus court en dessus que la patella. L'apophyse tibiale est aussi longue environ que l'article, son extrémité formant un petit crochet. Tarse un peu plus long que patella + tibia, presque 2 fois plus long que large; rostre 3 fois plus court que le tarse.

Pattes I plus longues et plus robustes que les suivantes, qui sont subégales. Protarses I plus longs que les tarses. Tibias I munis de 3-3 épines en dessous et de 3 épines latérales antérieures; protarses I

pourvus de 2-2 épines inférieures et de 2 épines latérales antérieures.

Longueur totale, 6^{mm}; longueur du céphalothorax, 3^{mm}.

Patella + tibia = 2^{mm},5.

Habitat : Durban (1 ♂, C.-B. COOPER leg.) (Durban Museum).

E. natalica diffère d'*E. chubbi* et *chappuisi* Lessert 1925 du Kilimandjaro par la longueur relative des pattes, leur armature, la forme des pattes-mâchoires.

Il serait intéressant de comparer *Saitis* (?) *sapiens* Peckham 1903¹ à *E. natalica*.

Genre BRANCUS Simon 1902.

1. *Brancus bevisi* n. sp.

(Fig. 17.)

♂: Céphalothorax (fig. 17 A) noirâtre, éclairci en arrière de la strie thoracique. Aire oculaire noire, marquée de 2 traits jaunes incurvés et anguleux, formant un hexagone ouvert. Des crins noirs sur le bord antérieur du céphalothorax et sous les yeux de la 2^{me} ligne. Pubescence du céphalothorax frottée. Cils blancs (?). Chélicères noirâtres, éclaircies en dessous, pourvues de quelques squamules lancéolées blanches en avant. Pièces buccales, sternum fauves. Pattes-mâchoires fauves, teintées de noirâtre. Pattes I brunes, teintées de noirâtre, avec les tarses jaunes. Pattes postérieures fauves, teintées de noirâtre, les fémurs obscurcis, les tibias plus ou moins nettement cerclés de noir à la base et à l'extrémité, les pro-tarses et tarses jaunes. Abdomen noir, long et étroit, entièrement divisé par une bande longitudinale atténuée en arrière de poils squamiformes serrés blancs à reflets verdâtres (fig. 17 A). Région ventrale testacée, tachetée de noir. Filières noirâtres.

Céphalothorax plus long (2^{mm},5) que large (2^{mm}), peu élevé presque plan en dessus, sans dépressions entre les yeux (sauf au niveau de la strie thoracique).

Yeux antérieurs subcontigus, en ligne recurvée (une ligne tangente à la base des latéraux passerait par le centre des médians), les médians 2 fois plus gros que les latéraux. Yeux de la 2^{me} ligne plus de 2 fois plus petits que les latéraux antérieurs, 2 fois plus rapprochés de ces derniers que des postérieurs. Yeux postérieurs

¹ Cf. PECKHAM 1903, p. 196, pl. 21, fig. 5.

dé même grosseur que les latéraux antérieurs, séparés des yeux de la 2^{me} ligne par un intervalle presque 2 fois plus grand que le diamètre des postérieurs. Groupe oculaire de $\frac{1}{3}$ plus large que long, à peine plus large en arrière qu'en avant, atteignant presque la $\frac{1}{2}$ de la longueur du céphalothorax, moins large que le céphalothorax en arrière.

Bandeau réduit, 6 fois environ plus court que le diamètre des yeux médians antérieurs, pourvu de quelques crins blancs.

Chélicères normales, à bords parallèles, aplanies et striées sur la face antérieure, carénées du côté externe; marge antérieure présentant 2 dents contiguës, marge postérieure, une dent conique. Lames-maxillaires dilatées en avant et pourvues d'une petite dent sur leur bord antérieur, près de l'angle externe, qui est obtus.

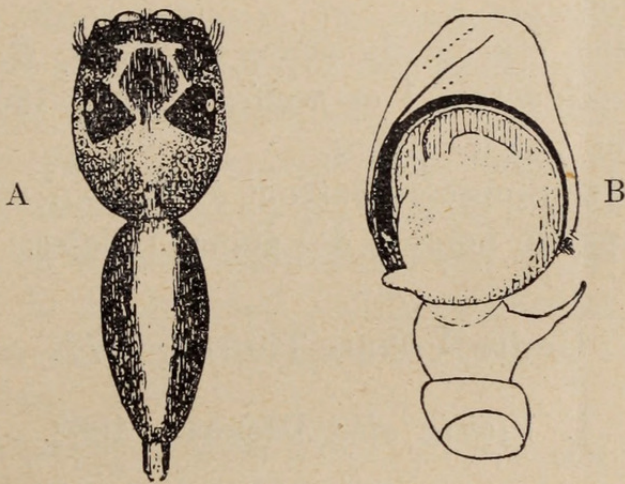


FIG. 17. — *Brancus bevisi* n. sp. ♂.

A. — Corps vu par dessus.

B. — Patte-mâchoire gauche vue par dessous.

Pattes-mâchoires (fig. 17 B). Tibia de même longueur environ que la patella, un peu plus large que long, pourvu, sur son bord externe, d'une apophyse divergente, arquée en avant, rétrécie dès la base, grêle, un peu plus courte que la largeur du tibia. Tarse un peu plus long que large, atténué et tronqué en avant en rostre plus de 2 fois plus court que le bulbe. Bord externe du bulbe présentant vers le $\frac{1}{3}$ basal une touffe de crins noirs comme chez certains *Thyene*. Bulbe discoïde, entouré d'un stylus noir, dont l'extrémité libre est dirigée obliquement en avant, presque jusqu'au bord apical du tarse. Bulbe muni à la base, du côté interne, d'un petit

processus digitiforme obtus, dirigé en dedans. Vu de profil, le bulbe est arrondi et dépasse un peu le tarse en arrière.

Pattes I plus longues et plus robustes que les suivantes, patellas et tibias I et II frangés de crins noirs en dessous.

Tibias I pourvus de 2-2 spinules apicales en dessous, d'une épine subbasale inférieure (du côté antérieur) et d'une spinule apicale (du côté antérieur); protarses I munis, dans la moitié antérieure, de 2-2 spinules inférieures, mais dépourvus d'épines latérales. Protarses III et IV armés de 2 verticilles d'épines dont le postérieur incomplet.

Patella + tibia I > IV > II > III. Tibia I = protarse + tarse I. Protarse I à peine plus long que tarse I.

Longueur totale, 5^{mm},5; longueur du céphalothorax, 2^{mm},5.

Habitat: Natal, Amanzimtoti (1 ♂, type, L. BEVIS leg.) (Durban Museum).

Les deux seules espèces du genre BRANCUS, *B. blaisei* Simon 1902 (Afrique occidentale)¹ et *muticus* Simon 1902 (Congo)² ne sont connues que par les mâles.

Brancus bevisi se rapproche surtout de *B. muticus*, dont il diffère principalement par le nombre des épines tibiales.

Genre VICIRIA Thorell 1877.

1. *Viciria alba* Peckham 1903.

(Fig. 18.)

V. alba (♀). PECKHAM 1903, p. 234, pl. 26, fig. 8.

♀: Céphalothorax (fig. 18 A) testacé, avec l'aire oculaire d'un fauve-rouge assez vif, les yeux latéraux antérieurs, ceux de la 2^{me} ligne et les latéraux postérieurs situés sur des taches noires. De chaque côté de la strie thoracique, une tache triangulaire noirâtre. Région oculaire couverte de poils blancs lancéolés. Cils et barbes formés de poils blancs, serrés. Chélicères, pattes-mâchoires, pièces buccales, sternum testacés. Pattes testacées, les hanches, trochanters et fémurs I et II ornés d'une ligne supérieure médiane noire. Pattes-mâchoires et pattes revêtues de longs poils blancs

¹ Cf. SIMON 1902^a, p. 400.

² Cf. SIMON 1902^a, p. 400 et 1892-1903, Vol. 2, p. 697, fig. 838 H.

simples. Abdomen testacé, maculé de taches blanches, orné, dans les $\frac{2}{3}$ postérieurs, d'une étroite bande longitudinale noirâtre atteignant les filières. Région ventrale testacée, criblée de taches blanches, coupée d'une étroite bande longitudinale noire, bifurquée en Λ peu avant les filières.

Céphalothorax plus long (3^{mm},6) que large (2^{mm},9).

Yeux antérieurs en ligne recurvée (une ligne tangente au bord inférieur des latéraux passerait vers le centre des médians), les médians proéminents, 2 fois plus gros que les latéraux, connivents séparés des latéraux par un intervalle plus petit que le rayon de ces derniers. Yeux de la 2^{me} ligne 4 fois plus petits que les latéraux antérieurs, plus rapprochés des latéraux antérieurs que des postérieurs, séparés des antérieurs par un intervalle égal au diamètre de ces derniers. Yeux postérieurs aussi gros que les latéraux antérieurs. Groupe oculaire plus large que long, à peine plus large en avant qu'en arrière, beaucoup plus étroit que le céphalothorax en arrière, n'atteignant pas en arrière la moitié de la longueur du céphalothorax.

Bandeau plus court que le rayon des yeux médians antérieurs.

Chélicères normales, munies d'une dent triangulaire sur la marge postérieure.

Patella + tibia I (= 3^{mm},1) > patella + tibia II, III, IV qui sont subégaux.

Tibias I pourvus de 3-3 épines inférieures, de 2 latérales antérieures et d'1 latérale postérieure. Protarses I munis de 2-2 épines en dessous, sans épines latérales.

Épigyne (fig. 18 B) en plaque fauve-rougeâtre un peu plus large que longue, arrondie en avant, divisée par un septum dilaté en \perp en arrière, orné de 2 points noirs enfoncés à la base¹.

Longueur totale, 10^{mm}; longueur du céphalothorax, 3^{mm},6.

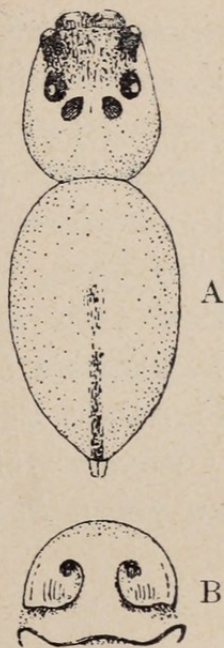


FIG. 18.

Viciria alba
Peckham. ♀.

- A. — Corps vu par dessus.
B. — Épigyne (sous liquide).

¹ L'épigyne présente une ressemblance assez marquée avec celui de la ♀ que j'ai attribuée (1915, p. 80, pl. 3, fig. 80) à *Hyllus ventrilineatus* (? = *Habrocestum dotatum* Peckham 1903) et qui est peut-être la ♀ d'*Evarcha natalica* Simon 1903.

Habitat : Natal, Durban (1 ♀, E.-C. CHUBB leg.) (Durban Museum).

Notre exemplaire diffère du type du Mashonaland par l'absence de points rouges sur la région oculaire, les taches dorsale et ventrale de l'abdomen prolongées en bandes.

Le genre *Viciria* est représenté en Afrique par les espèces suivantes : *V. alba* Peckham 1903 (Natal et Mashonaland), *V. albocincta* Thorell 1899 (Cameroun), *V. chrysophaea* Simon 1902 (Gabon), *V. epileuca* Simon 1902 (Gabon), *V. equestris* Simon 1902 (Gabon, Sierra Leone), *V. flavipes* Peckham 1903 (Natal), *V. flavolimbata* Simon 1909 (Guin. port.), *V. fuscimana* Simon 1903 (Guin. esp.), *V. longiuscula* Thorell 1899 (Cameroun), *V. lupula* Simon 1902 (Afr. occ.), *V. morigera* Peckham 1903 (Natal), *V. mustela* Simon 1902 (Afr. austro-orient.), *V. niveimana* Simon 1902 (Afr. occ.), *V. parmata* Peckham 1903 (Natal), *V. scintillans* Simon 1909 (Ile Fernando Poo), *V. tergina* Simon 1903 (Guinée esp.).

Viciria pulchra Thorell 1899 du Cameroun doit être rapporté au genre *Pochyta* et *V. tenuimanus* au genre *Baviola*.

C. SALTICIDAE FISSIDENTATI.

Genre TULAROSA Peckham 1903.

T. ogdeni (♀). PECKHAM 1903, p. 246, pl. 28, fig. 4.

La livrée de la ♀ et son épigyne correspondent aux figures très exactes des PECKHAM.

Les yeux antérieurs sont subconnivents, en ligne recurvée (une ligne tangente au bord inférieur des latéraux passerait par le centre des médians) et les médians sont 2 fois plus gros que les latéraux. Les yeux de la 2^{me} ligne sont 4 fois environ plus petits que les postérieurs, un peu plus rapprochés (de $\frac{1}{5}$) des postérieurs que des antérieurs, séparés des yeux postérieurs par un intervalle environ égal au diamètre de ces derniers. Groupe oculaire de $\frac{1}{3}$ plus large que long, à peine plus large en avant qu'en arrière, plus étroit que le céphalothorax en arrière, atteignant presque le milieu de la longueur du céphalothorax.

Bandeau vertical, 3 fois plus court que le diamètre des yeux médians antérieurs.

Les tibias I sont munis en dessous de 3-3 épines assez longues

et de 2 ou 3 épines latérales antérieures; les protarses sont pourvus de 2-2 longues épines couchées, sans épines latérales. Protarses III armés de 2, protarses IV de 3 verticilles d'épines.

Longueur totale, 8^{mm}; longueur du céphalothorax, 3^{mm},4.

Habitat: Natal, Umbilo (2 ♀, L. BEVIS leg.); Krantzkloof (H.-W. BELL-MARLEY leg.) (Durban Museum).

Nous avons décrit une deuxième espèce de *Tularosa* du Kili-
mandjaro, *T. plumosa* Lessert¹ qui se distingue de *T. ogdeni* par sa taille plus petite, ses épines tibiales inférieures plus nombreuses, les yeux de la 2^{me} ligne presque 2 fois plus rapprochés des yeux postérieurs que des antérieurs.

T. ogdeni est signalé du Natal et du Mashonaland.

¹ Cf. de LESSERT 1925, p. 519, fig. 105 à 109.

INDEX BIBLIOGRAPHIQUE

1825. AUDOUIN, V. *Explication sommaire des Planches d'Arachnides de l'Egypte et de la Syrie*, etc. Ex: *Description de l'Egypte*, etc. Histoire naturelle, Vol. 1, pp. 99-186, pl. 1-9. Paris, 4^o avec atlas f^o (1809).
1827. — Id., 2^{me} éd., Vol. 22, pp. 291-430. Paris, 8^o.
1894. BÖSENBERG, W. und LENZ, H. *Ostafrikanische Spinnen, gesammelt von Herrn Dr. F. Stuhlmann in den Jahren 1888 und 1889*. Mitt. naturh. Mus. Hamburg (Beiheft Jahrb. Hamb. wiss. Anst.), Jhg. 12 (1895), pp. 25-51, pl. 1-2.
1876. CAMBRIDGE, O. P. *Catalogue of a Collection of Spiders made in Egypt, with Descriptions of new Species and Characters of a new Genus*. Proc. zool. Soc. London, 1876, pp. 541-630, pl. 58-60.
1878. KARSCH, F. *Uebersicht der von ihm (Herrn W. Peters) in Mossambique gesammelten Arachniden*. Monatsber. k. Akad. Wiss. Berlin, 1878, pp. 314-338, pl. 1, 2.
1879. — *Westafrikanische Arachniden, gesammelt von Herrn Stabsarzt Dr. Falkenstein*. Zeitsch. ges. Naturw. (3), Bd. 4 (52), pp. 329-373, figg.
1875. KOCH, L. *Aegyptische und Abyssinische Arachniden, gesammelt von Herrn C. Jickeli, beschrieben und abgebildet von Dr. L. Koch*. Nürnberg, 4^o.
1911. KULCZYNSKI, VI. *Fragmenta arachnologica* (IX). XVI. *Aranearum species nonnullae in Syria a Rev. P. Bovier-Lapierre et in Palaestina a Rev. E. Schmitz collectae*. XVII. *Araneae nonnullae Europaeae*. Bull. Acad. Sc. Cracovie, Cl. Sc. math. et nat., 1911, pp. 12-75, pl. 1 et 2.
1891. LENZ, H. *Spinnen von Madagasear und Nossibé*. Mitt. naturh. Mus. Hamburg (Jahrb. Hamb. wiss. Anst.), Jhg. 9, p. 1 (1892), pp. 161-182, pl. 1 et 2.
1915. LESSERT (de), R. *Arachnides de l'Ouganda et de l'Afrique orientale allemande*. Ex: *Voyage du Dr J. Carl dans la région des Lacs de l'Afrique centrale*. Rev. suisse Zool., Vol. 23, pp. 1-89, pl. 1-3, 1 fig.

1916. — *Araignées du Kilimandjaro et du M'rou. II. Pisauridae. Ex: Résultats scientifiques de la mission zoologique suédoise au Kilimandjaro, au M'rou, etc. (1905-1906), sous la direction du Prof. Dr Yngve Sjöstedt. Rev. suisse Zool., Vol. 24, pp. 565-620, 26 figg.*
1919. — *Id., III. Thomisidae. Rev. suisse Zool., Vol. 27, pp. 99-234, pl. 2, 28 figg.*
1921. — *Id., IV. Clubionidae. Rev. suisse Zool., Vol. 28, pp. 381-442, 80 figg.*
1925. — *Id., V. Salticidae. Rev. suisse Zool., Vol. 31, pp. 429-528, 109 figg.*
1858. LUCAS, H. *Arachnides. Ex: Voyage au Gabon, Histoire naturelle des Insectes et des Arachnides recueillis pendant un voyage fait au Gabon en 1856 et en 1857 par M. H. C. Deyrolle. Arch. ent., Thomson, Vol. 2, pp. 380-436, pl. 12, 13.*
1881. PAVESI, P. *Studi sugli Aracnidi africani. II. Aracnidi d'Inhabane, raccolti da Carlo Fornasini e considerazioni sull' aracnofauna del Mozambico. Ann. Mus. civ. Genova, Vol. 16 (1880-1881), pp. 536-560.*
1892. PECKHAM, G.-W. and E.-G. *Ant-like Spiders of the Family Attidae. Occasional Papers nat. Hist. Soc. Wisconsin, Vol. 2, N° 1 (1892), pp. 1-83, pl. 1 à 7.*
1902. — *Some new Genera and Species of Attidae from South Africa. Psyche, a Journal of entomology, Vol. 9 (1900-1902), N° 312 (1902), pp. 330-335.*
1903. — *New Species of the Family Attidae from South Africa, with notes on the distribution of the Genera found in the Ethiopian Region. Trans. Wisconsin Acad. Sc., Vol. 14 (1902--04), pp. 173-278, pl. 19 à 29.*
1898. POCOCK, R. I. *On the Arachnida taken in the Transvaal and in Nyasaland by Mr. W. L. Distant and Dr. Percy Rendall. Ann. Mag. nat. Hist. (7), Vol. 1, pp. 308-321, fig. 1-3.*
1899. — *On the Scorpions, Pedipalps and Spiders from Tropical West Africa represented in the Collection of the British Museum. Proc. zool. Soc. London, 1899, pp. 833-885, pl. 55-58.*
1900. — *Some new Arachnida from Cape Colony. Ann. Mag. nat. Hist. (7), Vol. 6, pp. 316-333.*
- 1900^a. — *Arachnida. Ex: The Fauna of British India including Ceylon and Burma. London, 8°.*
1901. — *Diagnoses of some new Species of Spiders from Mashonaland. Ann. Mag. nat. Hist. (7), Vol. 7, pp. 337-340.*
1903. PURCELL, W. F. *New Arachnida collected by Mr. S. C. Cronwright Schreiner at Hanover, Cape Colony. Ann. South African Museum, Vol. 3, P. 1, pp. 13-40, pl. 1.*

- 1903^a. — *New South African Spiders of the Families Migidae, Ctenizidae, Barychelidae, Dipluridae and Lycosidae*. Ann. South African Museum, Vol. 3, P. 4, pp. 69-142, pl. 8 et figg.
1882. SIMON, E. *Etude sur les Arachnides de l'Yemen méridional*. (II). Ex: *Viaggio ad Assab nel Mar rosso, dei signori G. Doria ed O. Beccari con il R. avviso « Esploratore », dal 16 Novembre 1879 al 26 Febbraio 1880*. Ann. Mus. civ. Genova, Vol. 18 (1882-1883), pp. 207-260, pl. 8.
1885. — *Etudes arachnologiques*, 18^e mém. XXVI. *Matériaux pour servir à la faune des Arachnides du Sénégal*. (Appendice: *Descriptions de plusieurs espèces africaines nouvelles*). Ann. Soc. ent. France (6), Vol. 5, pp. 345-396.
1889. — *Arachnidae transcaspicae ab ill. Dr G. Radde, Dr A. Walter et A. Conchin inventae (annis 1886-1887)*. Verh. K. K. Zool.-bot. Ges. Wien, Bd. 39, pp. 373-386.
1890. — *Etudes arachnologiques*, 22^e mém. XXXIV. *Etude sur les Arachnides de l'Yemen*. Ann. Soc. ent. France (6), Vol. 10, pp. 77-124.
- 1892-1903. — *Histoire naturelle des Araignées*. 2^{me} éd. Paris, 8^o (Vol. 1, 1892-1895; Vol. 2, 1897-1903).
1898. — *Descriptions d'Arachnides nouveaux des familles des Ageleidae, Pisauridae, Lycosidae et Oxyopidae*. Ann. Soc. ent. Belgique, Vol. 42, pp. 5-34.
1902. — *Descriptions d'Arachnides nouveaux de la famille des Salticidae (Attidae)*. Ann. Soc. ent. Belgique, Vol. 46, pp. 24-54 et 363-406.
- 1902^a. — *Etudes arachnologiques*, 32^e mém. LI. *Descriptions d'espèces nouvelles de la famille des Salticidae (suite)*. Ann. Soc. ent. France, Vol. 71, pp. 389-421.
1909. — *Arachnides recueillis par L. Fea sur la côte occidentale d'Afrique* (P. 2). Ann. Mus. civ. Genova (3), Vol. 4 (44) (1908-1910), pp. 335-449, figg.
1906. STRAND, E. *Diagnosen nordafrikanischer, hauptsächlich von Carlo Freiherr von Erlanger gesammelter Spinnen*. Zool. Anz., Bd. 30, pp. 604-637, 655-690. (p. 680, Anhang I. *Diagnosen neuer, von Oscar Neumann in Süd-Aethiopien gesammelter Spinnen*; p. 687, Anhang II. *Diagnosen fünf neuer tropisch-afrikanischer Spinnen*.)
1907. — *Nordafrikanische, hauptsächlich von Carlo Freiherr von Erlanger gesammelte Lycosiden*. Arch. Naturg., Jhg. 73, Bd. 1, Hft. 3, pp. 291-376, pl. 8.
- 1907^a. — *Ueber einige tropisch-afrikanische Spinnen*. Societas entomologica, Jhg. 22, pp. 65-67, 74-75, 83-85, 90-92.
- 1907^b. — *Afrikanische Spinnen (exkl. Aviculariiden), hauptsächlich aus dem Kapland*. Zool. Jahrb. (Abt. Syst.), Bd. 25, Heft 5/6, pp. 557-731.

- 1907-1908. — *Beiträge zur Spinnenfauna Madagaskars*. *Nyt. Mag. Naturv.*, Bd. 46, pp. 1-227. (Bd. 46: Heft 1, pp. 1-96. 1907; Heft 2, pp. 97-227. 1908).
1909. — *Nordafrikanische, hauptsächlich von Carlo Freiherr von Erlanger gesammelte Oxyopiden und Salticiden. (Fortsetzung)*. *Societas entomologica*, Jhg. 23 (1908-1909), pp. 155-156, 173-175, 180-181, 187-188.
- 1909^a. — *Nordafrikanische, hauptsächlich von Carlo Freiherr von Erlanger gesammelte Oxyopiden und Salticiden. (Fortsetzung)*. *Societas entomologica*, Jhg. 24 (1909-1910), pp. 4-6, 12-14, 21-22, 36-38, 44-46, 53-54, 62, 68-69, 74-76, 83-85, 90-91.
- 1909^b. — *Spinnentiere von Süd-Afrika und einigen Inseln, gesammelt bei der Deutschen Südpolar-Expedition 1901-1903*. Ex: *Deutsche Südpolar-Expedition 1901-1903*, Bd. 10, Zoologie II, pp. 543-596. Berlin, 4^o.
1910. — *Zwei neue exotische Myrmarachne-Arten*. *Intern. ent. Zeitsch. Guben*, Jhg. 4, p. 13.
1913. — *Arachnida*. I. Ex: *Wissenschaftliche Ergebnisse der Deutschen Zentral-Afrika-Expedition 1907-1908, unter Führung Adolf Friedrichs, Herzogs zu Mecklenburg*, Bd. IV, Zoologie II, Lief. 11, pp. 325-474. Leipzig, 8^o.
-



Lessert, Roger de. 1925. "Araignées du Sud de l'Afrique (Suite)." *Revue suisse de zoologie* 32, 323–365. <https://doi.org/10.5962/bhl.part.117932>.

View This Item Online: <https://www.biodiversitylibrary.org/item/148880>

DOI: <https://doi.org/10.5962/bhl.part.117932>

Permalink: <https://www.biodiversitylibrary.org/partpdf/117932>

Holding Institution

American Museum of Natural History Library

Sponsored by

BHL-SIL-FEDLINK

Copyright & Reuse

Copyright Status: In copyright. Digitized with the permission of the rights holder.

Rights Holder: Muséum d'histoire naturelle - Ville de Genève

This document was created from content at the **Biodiversity Heritage Library**, the world's largest open access digital library for biodiversity literature and archives. Visit BHL at <https://www.biodiversitylibrary.org>.